

**Profil Poliprotein Virus Hepatitis C dan Analisa Kemungkinan
Molecular Mimicry dengan Protein *Homo sapiens* secara *In Silico***

SKRIPSI

oleh
Fachresa Riski Perdana
0710910022-91



JURUSAN BIOLOGI
FAKULTAS MATEMATIKA DAN ILMU PENGETAHUAN ALAM
UNIVERSITAS BRAWIJAYA
MALANG
2011

**Profil Poliprotein Virus Hepatitis C dan Analisa Kemungkinan
Molecular Mimicry dengan Protein *Homo sapiens* secara *In Silico***

SKRIPSI

Sebagai salah satu syarat untuk memperoleh gelar
Sarjana Sains dalam bidang Biologi

oleh
FACHRESA RISKI PERDANA
0710910022-91



JURUSAN BIOLOGI
FAKULTAS MATEMATIKA DAN ILMU PENGETAHUAN ALAM
UNIVERSITAS BRAWIJAYA
MALANG
2011

LEMBAR PENGESAHAN SKRIPSI

**Profil Poliprotein Virus Hepatitis C dan Analisa Kemungkinan
Molecular Mimicry dengan Protein *Homo sapiens* secara *In Silico***

oleh

FACHRESA RISKI PERDANA

0710910022-91

**Setelah dipertahankan di depan Majelis Pengaji
pada tanggal 01 Agustus 2011**

**dan dinyatakan memenuhi syarat untuk memperoleh gelar
Sarjana Sains dalam bidang Biologi**

Pembimbing I

Pembimbing II

Muhammin Rifa'i Ph.D.Med.Sc
NIP. 19670525-199103-2-001

Widodo, SSi.,MSi. PhD.Med.Sc
NIP. 19730811-200003-1-002

Mengetahui,
Ketua Jurusan Biologi
Fakultas MIPA Universitas Brawijaya

Widodo, SSi., M.Si. PhD.Med.Sc
NIP. 19730811-200003-1-002

LEMBAR PERNYATAAN

Saya yang bertanda tangan di bawah ini :

Nama

: Fachresa Riski Perdana

NIM

: 0710910022-91

Jurusan

: Biologi

Penulis Skripsi Berjudul

: Profil Poliprotein Virus

Hepatitis C dan Analisa Kemungkinan Molecular Mimicry
dengan Protein *Homo sapiens* secara *In Silico*

Dengan ini menyatakan bahwa :

1. Skripsi ini adalah benar-benar karya saya sendiri, dan bukan hasil plagiat dari karya orang lain. Karya-karya yang tercantum dalam Daftar Pustaka ini, semata-mata digunakan sebagai acuan/referensi.
2. Apabila kemudian hari diketahui bahwa isi skripsi merupakan hasil plagiat, maka saya bersedia menanggung segala resiko yang akan saya terima.

Demikian pernyataan ini saya buat dengan segala kesadaran.

Malang, 01 Agustus 2011
Yang menyatakan,

(Fachresa Riski Perdana)
NIM. 0710910022-91

PEDOMAN PENGGUNAAN SKRIPSI

Skripsi ini tidak dipublikasikan namun terbuka untuk umum dengan ketentuan hak cipta ada pada penulis. Daftar pustaka diperkenankan untuk dicatat, tetapi pengutipan hanya dapat dilakukan dengan seijin penulis dan harus disertai kebiasaan ilmiah untuk menyebutkannya.



KATA PENGANTAR

Alhamdulillaahi Rabbil 'Aalamiin, dengan ungkapan rasa syukur pada Allah Yang Maha Kuasa penulis dapat menyelesaikan penyusunan skripsi yang merupakan syarat untuk memperoleh gelar Sarjana Sains dalam bidang Biologi di Fakultas Matematika dan Ilmu Pengetahuan Alam Universitas Brawijaya Malang.

Pada kesempatan ini, penulis ingin menyampaikan ucapan terima kasih kepada :

1. **Kedua orang tua** atas segala doa, jasa, dan pengorbanan yang tak mungkin terbalas.
2. **Bapak Muhammin Rifa'i, S.Si., M.Si. PhD. Med.Sc dan Bapak Widodo, S.Si., M.Si. PhD. Med.Sc** selaku Dosen Pembimbing yang telah mendampingi dan memberi pengarahan serta tambahan ilmu dan saran-saran yang berguna bagi penulis.
3. **Ibu Dr. Sri Widyarti, M.Si, Bapak Brian Rahardi S.Si., M. Sc , dan Bapak Dr. Suharjono, M.Si.** selaku Dosen Pengujian yang telah memberi saran yang bermanfaat demi perbaikan penyusunan skripsi.
4. **Dra. Nunung Harijati, MS, Ph.D** selaku dosen pembimbing akademik yang telah mendampingi dan memberikan nasehat akademik
5. Keluarga besar tercinta yang telah memberikan doa, dukungan dan motivasi tiada henti.
6. Rekan seperjuangan "**Quorum Sensing Bio' 2007**" dan segenap keluarga besar Jurusan Biologi FMIPA-UB atas bantuan dan kerja sama.
7. Teman- teman angkatan 2005, 2006, 2008, 2009 dan 2010 atas semangat dan kekeluargaan yang erat.

Penulisan skripsi ini merupakan upaya optimal penulis sebagai sarana terbaik dalam pengembangan ilmu pengetahuan. Saran dan kritik yang membangun sangat diharapkan untuk menjadikan karya ini semakin bermanfaat.

Malang, Agustus 2011

Penulis

Profil Poliprotein Virus Hepatitis C dan Analisa Kemungkinan Molecular Mimicry dengan Protein *Homo Sapiens* secara *In Silico*

Fachresa R.P, Muhamin Rifa'I, Widodo

Jurusan Biologi, Fakultas Matematika dan Ilmu Pengetahuan Alam,
Universitas Brawijaya, Malang.

ABSTRAK

Autoimun Hepatitis C masih menjadi permasalahan yang belum banyak ditemukan solusinya. Penyebab autoimun hepatitis C diduga karena *molecular mimicry*. Maka pada penelitian ini dilakukan *profiling* polyprotein pada Virus Hepatitis C dan mendeteksi *molecular mimicry* secara *in silico*. Tujuan dari penelitian ini adalah mengetahui profil poliprotein Virus Hepatitis C serta memprediksi dan mengetahui potensi munculnya *molecular mimicry* pada genom Virus Hepatitis C terhadap protein *Homo sapiens*. Metode yang digunakan dalam penelitian ini adalah dengan mendapatkan sekuen Virus Hepatitis C dari *International Comitte Taxonomy of Virus*, analisis *alignment* dan pohon kekerabatan dengan BioEdit dan MEGA 4, dan analisis *molecular mimicry* dengan BLAST. Polyprotein virus hepatitis C memiliki 17 *highly conserved region* dengan parameter 10 asam amino atau 30 nukleotida. Sepuluh daerah dari 17 sekuen asam amino terletak pada *functional region* dan 7 lainnya terletak pada *non functional region*. Dugaan mutasi pada polyprotein virus hepatitis C terdapat hampir pada seluruh region. Dugaan mutasi banyak terjadi pada NS4 *region*, NS2 *region*, dan *envelope* *region*. Infeksi virus hepatitis C diduga dapat menginduksi terjadinya *molecular mimicry* dimana dapat memunculkan autoantibodi pada *specific organ* (hepar) dan *non specific organ*.

Kata kunci: *In silico*, *Molecular mimicry*, Poliprotein, Virus Hepatitis C

Profile of Hepatitis C virus Polyprotein and Analysis of Possible Molecular Mimicry with *Homo Sapiens* Protein by In silico Methods

Fachresa R.P, Muhamin Rifa'I, Widodo
Biology Departement, Mathematics and Science Faculty,
Brawijaya University, Malang.

ABSTRACT

Autoimmune Hepatitis C is still a problem. Autoimmune Hepatitis C may cause by of molecular mimicry as a main cause. The purpose of this study are to determine the profile of Hepatitis C Virus polyprotein as well as predicting and understanding the potential emergence of molecular mimicry in the genome of the Hepatitis C virus with *Homo sapiens* protein. To get the Hepatitis C virus sequences, it takes from the International Comitte Taxonomy of Viruses, alignment and phylogenic tree analysis with BioEdit and MEGA 4, and analysis of molecular mimicry with BLAST. Polyprotein hepatitis C virus has 17 highly conserved region with the parameters of 10 amino acids or 30 nucleotides. Ten regions of 17 amino acid sequences located on functional region and the other 7 are located on the non-functional regions. Allegations of mutations in hepatitis C virus polyprotein contained almost the entire region. Allegations of many mutations occur in NS4 region, NS2 region, and the envelope region. Suspected hepatitis C virus infection can induce the occurrence of molecular mimicry of autoantibodies which can result in specific organs (liver) and non-specific organs.

Keywords: In silico, Molecular mimicry, polyprotein, Hepatitis C Virus

DAFTAR ISI

HALAMAN JUDUL.....	i
HALAMAN PENGESAHAN	ii
HALAMAN PERNYATAAN	iii
ABSTRAK.....	iv
ABSTRACT	v
KATA PENGANTAR	vi
DAFTAR ISI.....	vii
DAFTAR GAMBAR.....	viii
DAFTAR TABEL.....	ix
DAFTAR LAMPIRAN	x
DAFTAR ISTILAH.....	xi
PEDOMAN PENGGUNAAN SKRIPSI.....	xiii
BAB I PENDAHULUAN	1
1.1 Latar Belakang.....	1
1.2 Rumusan Permasalahan	2
1.3 Tujuan	2
1.4 Manfaat.....	2
BAB II TINJAUAN PUSTAKA.....	3
2.1 Tinjauan Umum Tentang Hepatitis C	3
2.1.1 Tinjauan Tentang Genome dan Antigenisitas Virus Hepatitis C	3
2.1.2 Tinjauan Tentang Respon Imunologis Terhadap Virus Hepatitis C	5
2.2 Tinjauan Umum Tentang Autoimun.....	7
2.3 Tinjauan Tentang Analisis Alignment	9
2.4 Software Bioinformatik	10
2.4.1 BioEdit	10
2.4.2 MEGA (<i>Phylogenetic and Molecular Evolutionary Analysis</i>).....	10
2.4.3 ICTVdb (<i>International Comitte on Taxonomy of Viruses Data Bases</i>)	11
2.5 Kerangka Konsep	11

BAB III METODE PENELITIAN	12
3.1 Waktu dan Tempat.....	12
3.2 Alat dan Bahan	13
3.2.1 Koleksi Data	12
3.2.2 Analisa Profil Poliprotein Virus Hepatitis C secara <i>In silico</i>	13
3.2.3 Analisis Potensi <i>Mimicry</i> Poliprotein Virus Hepatitis C terhadap Protein <i>Homo sapiens</i>	15
3.2.4 Kerangka Kerja	16
BAB IV HASIL DAN PEMBAHASAN	17
4.1 Genom Virus Hepatitis C	17
4.2 Pensejajaran Sekuen (<i>Alignment</i>), Analisis Daerah Terkonservasi (<i>Conserved Region</i>), dan Pohon Filogeni Genom Virus Hepatitis C	18
4.3 Analisis <i>Molecular Mimicry</i> dengan BLAST dan Bepipred	24
BAB V PENUTUP	28
5.1 Kesimpulan	28
5.2 Saran	28
DAFTAR PUSTAKA	29
LAMPIRAN	32

DAFTAR GAMBAR

2.1 Struktur genome dari virus hepatitis C	4
2.2 Kerangka konsep penelitian	11
2.3 Kerangka kerja penelitian	14
3.1 Proses analisis <i>conserved region</i> dengan BioEdit	15
4.1 Pohon filogeni dari varian virus hepatitis C dengan MEGA 4	19
4.2 Perbandingan daerah yang terkonservasi dengan daerah yang diduga mengalami mutasi.	20
4.3 Hasil analisis epitop sel B dengan Bepipred dan sekuen masing- masing protein	23



DAFTAR TABEL

4.1 Genom virus Hepatitis C dan virus ParaInfluenza tipe 1 (sebagai <i>outgroup</i>)	16
4.2 Letak <i>conserved region</i> pada poliprotein	17
4.3 Protein <i>mimic</i> (Polyprotein HCV- <i>Homo sapiens</i>)	21



DAFTAR ISTILAH

Istilah

Alignment

Capsid

Envelope

Hypergammaglobulinaemia

In silico

Molecular mimicry

NS1

NS2

NS3 (peptidase S29) dan
NS4

NS5A dan NS5B

Polyprotein

RNA dependen
Polymerase

Keterangan

Pensejajaran Nukleotida atau asam amino untuk menentukan homologi berdasarkan posisi sekuen

Protein pembungkus atau pelindung virus

Bagian terluar dari virus yang melindungi bagian capsid

Keadaan meningkatnya Imunoglobulin pada darah

Metode Analisis biologi yang dilakukan dengan perangkat komputer secara menyeluruh

Suatu kelainan imunologis disebabkan adanya kesamaan struktur antara self protein dengan protein antigen dapat memicu respon imun

Menginisiasi Internal Ribosomes Entry Sites

Protein viral yang berfungsi untuk berikatan pada membran retikulum endoplasma

kompleks NS3 dan NS4 untuk pemutusan atau pembelahan antar protein (non struktural protein)

Anti Interferon dari virus

Protein dalam ukuran yang besar dan kemudian dipotong menjadi protein yang lebih kecil dengan fungsi biologis yang berbeda

Enzim yang mengkatalisis replikasi RNA dari template RNA

DAFTAR LAMPIRAN

1 Hasil analisis <i>conserved region</i> dengan <i>BioEdit</i>	32
2 Alignment region poliprotein Virus Hepatitis C	40



BAB I

PENDAHULUAN

1.1 Latar belakang

Virus Hepatitis C dan Hepatitis B berperan dalam terjadinya 64% penyakit hati kronik. Virus Hepatitis C dan B merupakan penyebab terbanyak dikawasan Asia termasuk Indonesia. Infeksi ini dapat berlanjut menjadi sirosis hati. Infeksi virus Hepatitis C merupakan penyebab utama dari Hepatitis C dan masih menjadi penyebab utama dari hepatitis kronik di seluruh dunia (Hermawan, 2004). Autoimun adalah respon sistem imun yang terjadi terhadap antigen jaringan tubuh sendiri yang disebabkan kegagalan mekanisme secara normal yang berperan untuk mempertahankan *self tolerance* terhadap sel B, sel T, atau keduanya. Autoimunitas dapat terjadi karena *self-antigen* yang dapat menimbulkan aktivasi, proliferasi, dan diferansiasi sel T autoreaktif menjadi sel efektor yang menimbulkan kerusakan jaringan dan organ (Baratawidjaja, 2006). Salah satu autoimun yang berhubungan metabolisme tubuh yaitu autoimun hepatitis.

Autoimun hepatitis merupakan suatu kelainan imunologis yang menyebabkan inflamasi *hepar* dan peningkatan IgG (*Hyper gammaglobulinaemia*). Penyakit automimun hepatitis hingga saat ini belum diketahui penyebabnya secara pasti. Penyebab yang diduga kuat sebagai penyebab autoimun hepatitis adalah infeksi virus hepatitis dan obat-obatan tertentu yang digunakan.

Analisis secara bioinformatik merupakan salah satu pendekatan yang dapat dilakukan, di mana peneliti dapat memprediksi penyebab dan *treatment* suatu kelainan atau *disorder*. Autoimun hepatitis juga dapat menurunkan aktivitas dari sel T regulator di mana peran sel T regulator sangat penting untuk meregulasi hipereaktivitas sel-sel imunokompeten. Dengan dilakukannya analisis secara bioinformatik, dapat diketahui profil genomik Virus Hepatitis C sebagai sarana informasi desain vaksin serta dapat diprediksi penyebab autoimun hepatitis. Oleh karena itu, analisis bioinformatik (*in silico*) tentang profil poliprotein Virus Hepatitis C dan penyebab autoimun hepatitis perlu dilakukan untuk

mengambil tindakan pengobatan yang tepat serta pencegahan yang sesuai.

1.2 Rumusan Permasalahan

Permasalahan yang terdapat dalam penelitian ini adalah:

1. Bagaimana profil Poliprotein Virus Hepatitis C?
2. Bagaimana kemungkinan munculnya protein *mimic* pada *Homo sapiens*?

1.3 Tujuan

Tujuan yang ingin dicapai dalam penelitian ini adalah:

1. Mengetahui profil Poliprotein Virus Hepatitis C.
2. Memprediksi dan mengetahui kemungkinan munculnya protein *mimic* pada *Homo sapiens*.

1.4 Manfaat

Manfaat penelitian ini adalah dapat diprediksinya penyebab autoimun hepatitis, serta profil Genom dan poliprotein Virus hepatitis C, sehingga dari penyebab tersebut dapat dirancang metoda pengobatan baru (obat ataupun vaksin) yang spesifik terhadap masing-masing varian virus sebagai bentuk pencegahan dan pengobatan autoimun hepatitis.

BAB II

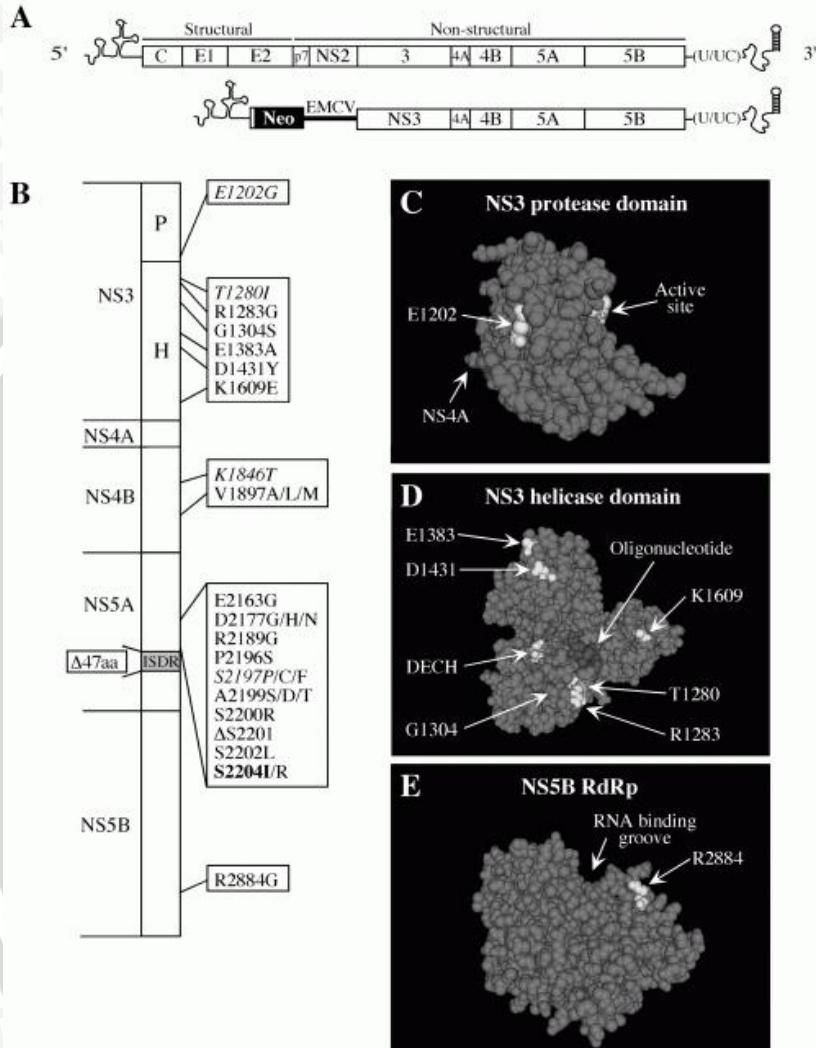
TINJAUAN PUSTAKA

2.1 Hepatitis C

Hepatitis C adalah penyakit yang disebabkan oleh virus hepatitis C. Infeksi Virus Hepatitis C dapat menyebabkan peradangan hepar (hepatitis) yang biasanya asimptomatik, tetapi hepatitis kronik dapat menyebabkan sirosis dan kanker hepar. Virus Hepatitis C dapat menyebar melalui kontak darah (transfusi darah) dan kontak seksual. Hepatitis B dan C merupakan masalah kesehatan global yang sering dihadapi. Kedua virus tersebut dapat berakibat pada hepatitis kronik, sirosis dan *hepatoselular carcinoma* (Miyaaki, 2009).

2.1.1 Genome dan Antigenisitas Virus Hepatitis C

Virus Hepatitis C adalah virus bertipe RNA yang memiliki *envelope* berdiameter 50 nm, terkласifikasi pada Genus Hepacivirus dan Famili Flaviridae. Virionnya menginfeksi manusia. Genome dari Virus Heptitis C sangat mudah termutasi karena Virus Hepatitis C merupakan virus dengan tipe RNA virus. Karena Virus Hepatitis C juga memiliki sifat cepat termutasi, maka Virus Hepatitis C mudah untuk *escaping* dari sistem imun yang ada dalam tubuh. Mutasi yang terjadi pada genome Virus Hepatitis C tidak terjadi pada seluruh bagian genome, melainkan terjadi pada hipervariabel region yang mengkode protein *envelope* (berlokasi dekat N-terminus dari E2). Peneliti memprediksi bahwa pada bagian ini yang memiliki antigenisitas tinggi. Sejauh ini genotip yang dimiliki diketahui terdapat 6 genotip (WHO, 2010).



Gambar 2.1 Struktur genome dari Hepatitis C Virus

A dan B menunjukkan penempatan *site* pada genom virus Hepatitis Letak poliprotein C) NS3 protease D) NS3 helicase E)NS5B RNA dependen RNA polimerase (Blight dan Norgard, 2006).

Virus Hepatitis C termasuk dalam famili *Flaviridae* memiliki struktur dan karakteristik yang spesifik. Kelompok ini memiliki *envelope* pada lipid bilayer di mana dua atau lebih *envelop* protein yang tertancap. *Envelop* mengelilingi nukleokapsid, di mana terdiri dari beberapa salinan (*copy*) dari protein kecil (dari *Core protein* dan mengandung RNA genom). Genom *flaviridae* merupakan untai positif (*positive strand*) molekul RNA yang berukuran 9,6 hingga 12,3 ribu nukleotida, dengan daerah *open reading frame* (ORF) yang mengkode poliprotein sebanyak 3000 asam amino bahkan lebih (Chevaliez dan Pawlotsky, 2006).

Flaviridae berikatan dengan satu atau lebih reseptor sel, yaitu reseptor kompleks yang menginisiasi endositosis virus. Masuknya viral ini dikontrol oleh glikoprotein pada membran virion yang menginisiasi perubahan konformasi yang memediasi fusi pada fusion protein *class II*. Fusi dari *virion envelope* dengan membran sel yang meneruskan nukleokapsid ke sitoplasma. Setelah peleburan (dekapsidasi) *envelop*, translasi viral genom akan terjadi di sitoplasma, yang mengarahkan pada sintesis poliprotein prekursor yang akan terbagi menjadi protein struktural dan non struktural dari genom virus. Viral tersebut bereplikasi, dan kemudian berasosiasi dengan membran sel *host*, setelah virion tersebut *terpackage* dengan vesikel pada *Golgi apparatus*, maka virion tersebut telah matang dan akan dikeluarkan ke ekstrasel melalui eksositosis (Chevaliez dan Pawlotsky, 2006).

2.1.2 Respon Imunologis terhadap Virus Hepatitis C

Virus mempunyai sifat-sifat khusus di antaranya: dapat menginfeksi jaringan tanpa menimbulkan respon inflamasi, dapat berkembang biak dalam sel *host* tanpa merusaknya, kadang mengganggu fungsi khusus sel yang terinfeksi tanpa merusaknya secara nyata, dan kadang virus merusak sel dan mengganggu perkembangan sel, kemudian menghilang dari tubuh. Respon imun terhadap infeksi virus melibatkan respon non-spesifik maupun spesifik. Terdapat 2 mekanisme utama respon non spesifik terhadap virus, yakni: infeksi virus merangsang IFN (*Interferon*) oleh sel-sel terinfeksi, di mana IFN berfungsi menghambat replikasi virus dan sel NK (*Natural Killer*) melisikan berbagai jenis sel terinfeksi virus. Sel

NK mampu melisiskan sel terinfeksi virus walaupun virus menghambat presentasi antigen dan ekspresi MHC I (*Major Histocompatibility Complex*), karena sel NK cenderung diaktivasi oleh sel sasaran yang MHC- negatif (Kresno, 2001).

Untuk membatasi penyebaran virus dan mencegah reinfeksi, sistem imun tubuh harus mampu menghambat masuknya virion ke dalam sel dan memusnahkan sel yang terinfeksi. Antibodi spesifik mempunyai peran penting pada awal terjadinya infeksi, di mana antibodi ini dapat menetralkan antigen virus dan melawan virus sitopatik yang dilepaskan oleh sel yang mengalami lisis. Peran antibodi dalam menetralkan virus terutama efektif untuk virus yang bebas atau virus dalam sirkulasi. Proses neutralisasi virus dapat dilakukan dengan beberapa cara, di antaranya dengan cara menghambat perlekatan virus pada reseptor yang terdapat pada permukaan sel, sehingga virus tidak dapat menembus membran sel, dengan demikian replikasi virus dapat dicegah. Antibodi dapat juga menghancurkan virus dengan cara aktivasi komplemen melalui jalur klasik atau menyebabkan agregasi virus sehingga mudah difagositosis dan dihancurkan. Antibodi dapat mencegah penyebaran virus yang dikeluarkan dari sel yang telah hancur. Tetapi seringkali antibodi tidak cukup mampu untuk mengendalikan virus yang telah mengubah struktur antigennya dan yang melepaskan diri (*budding off*) melalui membran sel sebagai partikel yang infeksius, sehingga virus dapat menyebar ke dalam sel yang berdekatan secara langsung. Walaupun tidak cukup mampu menetralkan virus secara langsung, antibodi dapat berfungsi dalam reaksi ADCC (*Antibody Dependent Cellular Cytotoxicity*) (Kresno, 2001).

Infeksi virus Hepatitis C merangsang pembentukan antibodi terhadap protein virus yang nonstruktural yang disebut anti-HCV. Anti-HCV muncul lama setelah infeksi, bahkan kadang baru muncul 16-24 minggu setelah peningkatan kadar enzim. Pada infeksi akut yang umumnya sembuh sendiri, anti-HCV juga menghilang dari sirkulasi, sedangkan pada infeksi kronik anti-HCV menetap pada sirkulasi dalam jangka waktu lama dengan kadar tinggi (Kresno, 2001).

2.2 Autoimun

Autoimun merupakan salah satu penyakit disregulasi sistem imunitas dan merupakan penyebab penting dalam penyakit yang diderita manusia di beberapa negara. Kata autoimun sering diartikan bahwa kerusakan dan ketidaknormalan dari beberapa penyakit yang melibatkan sistem imunitas dengan kerusakan jaringan karena sistem imun itu sendiri (Abbas dkk, 2009). Beberapa konsep yang dikembangkan hingga saat ini dalam autoimunitas (Baratawidjaja, 2006):

1. Teori *sequestered antigen* atau *hidden antigen*

Sequestered atau *hidden antigen* adalah antigen yang karena secara anatomi tidak pernah berhubungan dengan sistem imun misalnya antigen sperma, lensa mata, dan saraf pusat. Bila bagian tersebut rusak atau terluka, dapat timbul penyakit autoimmun.

2. *Molecular mimicry*

Banyak infeksi yang menunjukkan hubungan dengan penyakit autoimun tertentu. Beberapa antigen memiliki epitop yang sama dengan antigen sel sendiri. Respon imun yang muncul terhadap antigen tersebut dapat merangsang sel T dan kemudian juga merangsang sel B untuk membentuk autoantibodi. Infeksi bakteri dan virus dapat berkontribusi dalam terjadinya gangguan autoimunitas (Baratawidjaja, 2006).

Molecular mimicry merupakan salah satu penyebab autoimunitas. Hal ini disebabkan adanya kesamaan struktur antara *self protein* dengan protein antigen dapat memicu respon imunologis. *Self Peptide* dengan konsentrasi rendah dapat mengakibatkan reaksi silang dengan peptida antigen yang memiliki struktur serupa (*mimic*). Hal ini mengakibatkan perpindahan atau ekspansi populasi sel T yang responsif dan dapat mengenali *self peptide*. Pada keadaan ini, toleransi sel T akan terganggu terhadap peptida suatu sel, maka inflamasi akan berlanjut pada presentasi peptida lainnya dan respon imun akan meluas sehingga menghasilkan kerusakan jaringan lokal. Kejadian ini disebut *epitope spreading*.

3. Kegagalan autoregulasi

Regulasi sistem imun berfungsi untuk mempertahankan homeostasis. Gangguan terjadi pada presentasi antigen, infeksi yang dapat meningkatkan respon MHC, kadar sitokin yang rendah, dan gangguan terhadap respon IL-2. Kegagalan pada sel T *regulator* atau sel T *supresor* dapat menimbulkan auotimunitas (Baratawidjaja, 2006).

4. Obat- obatan

Antigen asing dapat diikat oleh permukaan sel dan menimbulkan reaksi kimia dengan antigen permukaan sel tersebut yang dapat mengubah imunogenisitasnya. Mekanisme terjadinya reaksi autoimun karena obat belum jelas hingga saat ini. Banyak reaksi yang ditampilkan ketika mengkonsumsi suatu obat seperti munculnya *Antinuclear Antibodi* (ANA) dan antibodi tersebut akan menghilang ketika pemakaian obat dihentikan, tetapi tidak sedikit obat masih banyak tersimpan dalam tubuh (Baratawidjaja, 2006).

5. Faktor keturunan

Penyakit autoimun mempunyai persamaan predisposisi genetik. Meskipun sudah diketahui adanya kecenderungan terjadi penyakit pada keluarga, tetapi mekanisme penurunannya pada keturunan selanjutnya belum diketahui. Hal ini dapat dibuktikan dengan adanya keterkaitan antara penyakit dengan HLA (*Human Leukocyte Antigen*). *Haplotype* HLA merupakan resiko relatif untuk penyakit autoimun tertentu (Baratawidjaja, 2006).

Pada penyakit Autoimun hepatitis terjadi kerusakan jaringan hepar yang kronis. Pada kasus autoimun hepatitis terdapat antibodi yang menyerang organ dan jaringan hepar. Bila keadaan memburuk akan menyebabkan peradangan yang akan berkembang menjadi sirosis hepar dan terjadi kegagalan fungsi hepar. Autoimun hepatitis diduga dapat terjadi karena induksi obat- obatan dan bahan kimia serta infeksi virus. Hingga saat ini belum ada sumber pasti yang menyebutkan tentang etiologi atau penyebab autoimun hepatitis (Univesity of Virginia. 2007).

Hepatitis merupakan inflamasi yang terjadi pada hepar, yang mengakibatkan kerusakan sel hepar. Pada autoimun hepatitis, sistem imun pada tubuh penderita akan merusak sel hepar. Inflamasi kronik hepatitis ini masih belum diketahui penyebabnya secara pasti. Kondisi ini berasosiasi dengan kelainan yang biasa disebut *hypergammaglobulinaemia*. *Hypergammaglobulinaemia* adalah suatu kelainan di mana terdapat protein antibodi yang terdapat di dalam darah. Infeksi yang terjadi pada tubuh juga dapat menyebabkan *hypergammaglobulinaemia* (Univesity of Virginia, 2007).

2.3 Analisis Alignment

Dalam bioinformatik, *sequence alignment* merupakan salah satu cara mengatur (*arranging*) sekuen DNA, RNA, atau protein untuk identifikasi kesamaan wilayah (*region*) yang berpengaruh pada struktural fungsi dan evolusi di antara sekuen tersebut. *Aligned sequence* dari residu nukleotida atau asam amino secara khusus direpresentasikan sebagai baris dalam sebuah matriks. *Gaps* diinsersikan di antara residu tersebut sehingga karakter yang identik atau sama diatur (disejajarkan) dalam *successive column*. *Comparative analysis* dari sekuen DNA dan asam amino merupakan komponen yang penting dalam penelitian di bidang Biologi. *Sequence alignment* telah membantu dalam studi evolusi molekular, *RNA folding*, regulasi gen, dan hubungan *protein stucture-function*. Meskipun, perbandingan dari *pairwise sequence* telah terbukti bermanfaat, beberapa kesamaan penting secara biologi mungkin dideteksi dengan *aligning a set of sequence*. Demikian juga, pola atau motif dari set fungsional protein tersebut mungkin secara nyata dari analisis *multiple alignment* sekuen tersebut (Lipman, dkk., 1989).

Multiple sequence alignment merupakan prosedur untuk merubah *sequence of unequal length* ke *sequence of equal length* dengan menduga *placement of gaps* dengan tujuan untuk menduga homologi di antara karakter-karakter tersebut. Insersi dan delesi (indels) dilakukan dalam variasi cara selama *multiple sequence alignment* dan rekonstruksi filogenetik (Ogden dan Rosenberg, 2006).

Dua sekuen dalam sebuah *alignment share a common ancestor, mismatches* dapat diinterpretasikan sebagai mutasi titik (*point mutation*) dan *gaps* sebagai indels (insersi atau delesi). Pada *sequence alignment protein*, derajat kesamaan di antara asam amino berada pada posisi tertentu dalam sekuen sehingga dapat diinterpretasikan sebagai *rough measure* dari *conserved particular region* atau motif sekuen (*sequence motif*) di antara *lineage*. Ketidakadaan substitusi atau keberadaan dari *conservative substitution* dalam region tertentu dari sekuen menegaskan bahwa region ini memiliki struktur dan fungsi yang penting. Meskipun basa nukleotida DNA dan RNA lebih sama satu dengan yang lain daripada asam amino, konservasi dari pasangan basa dapat mengindikasikan peran yang sama pada fungsi dan strukturnya. Sekuen yang pendek atau sangat mirip dapat *di-aligned* dengan menggunakan tangan. Meskipun demikian, masalah utamanya adalah membutuhkan *alignment* yang panjang, *highly variable* atau jumlah sekuen ekstrim dimana hal ini tidak dapat dilakukan dengan tangan manusia. Sementara itu, pengetahuan manusia diaplikasikan dalam pembuatan algoritma untuk dapat menghasilkan *highly-quality sequence alignment*.

2.4 Software Bioinformatik

2.4.1. BioEdit

BioEdit adalah salah satu alat atau software untuk mengedit dan pensejajaran (*alignment*) sekuen. Program ini sering digunakan dalam membuat atau merancang alignment dari data-data yang didapatkan dari database serta dapat diatur ulang sesuai dengan keinginan pengguna. BioEdit juga menyediakan link untuk ditujukan kepada web server software lainnya untuk membantu pengambilan data maupun analisis (Meine, 2009).

2.4.2 MEGA (*Phylogenetic and Molecular Evolutionary Analysis*)

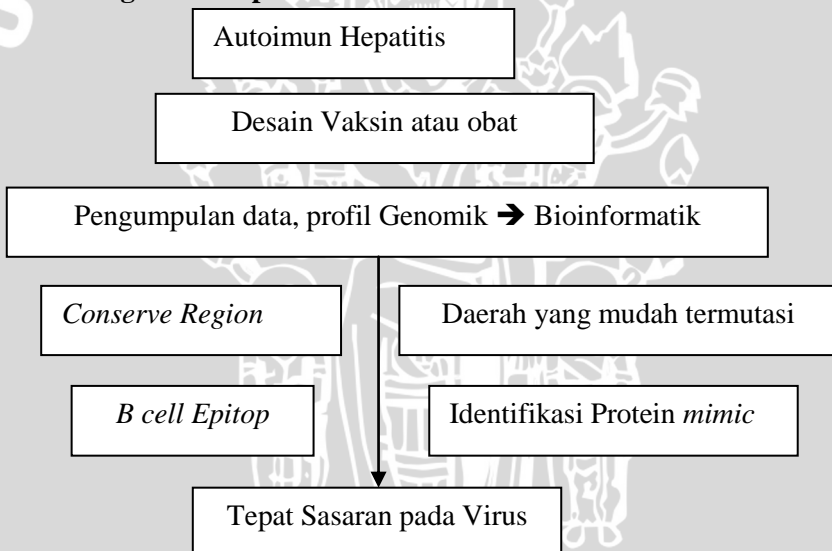
MEGA merupakan alat atau software yang memiliki integrasi untuk melakukan *sequence alignment* secara manual dan otomatis, mendesain pohon filogenetik dari data yang telah didapatkan, sumber

data base (*integrated*), memprediksi laju evolusi secara molekuler, dan membuktikan hipotesis evolusioner (MEGA, 2010).

2.4.3 ICTVdB (*International Comitte on Taxonomy of Viruses Data Bases*)

ICTVdB merupakan indeks dari virus atau *database* virus beserta deskripsi dan taksonomi. ICTVdB merupakan bentukan dari *The Seventh Report of the International Committee on Taxonomy of Viruses*, van Regenmortel *et al.* Academic Press (2000) dan data para peneliti tentang virus. Virus database ini dapat langsung memiliki *link* yang dihubungkan dengan NCBI sebagai *gene* dan protein databank (International Committee on Taxonomy of Viruses, 2002).

2.5 Kerangka Konsep



Gambar 2.2 Kerangka konsep penelitian: Desain vaksin untuk autoimun hepatitis dilakukan dengan mengumpulkan data genomik untuk memperoleh informasi sehingga dapat dibuat vaksin atau obat yang tepat sasaran.

BAB III

METODE PENELITIAN

3.1 Waktu dan Tempat

Penelitian “Profil Poliprotein Virus Hepatitis C dan Analisa Kemungkinan *Molecular Mimicry* dengan Protein *Homo sapiens* secara *In Silico*” dilaksanakan pada bulan Desember 2010- Mei 2011, bertempat di Laboratorium Biologi Informatika dan Komputasi, Jurusan Biologi, Fakultas Matematika dan Ilmu Pengetahuan Alam, Universitas Brawijaya, Malang.

3.2 Alat dan bahan

Alat dan bahan yang digunakan dalam penelitian ini adalah seperangkat komputer, jaringan atau koneksi internet, *Database*, *Software*, *data mining* dari *gene* atau *protein bank*.

3.2.1 Database

Sumber data (*database*) yang digunakan dalam protein ini adalah pada ncbi.nlm.nih.gov sebagai sumber sekuen dan ICTV *Viral Taxonomy Database* merupakan sumber informasi genotip virus Hepatitis C.

3.2.2 Software

Perangkat lunak (*software*) yang digunakan dalam penelitian ini yaitu MEGA *Phylogenetic and Molecular Evolutionary Analysis*, BioEdit *Sequence Alignment Editor*, BLASTp (NCBI) dan Immuneptope .

3.3 Cara kerja

3.3.1. Koleksi Data

Database genom Virus Hepatitis C didapatkan dari ICTVdB (*International Comitte Taxonomy of Virus database*) yang dihubungkan dengan *Link* ke situs genebank NCBI (*National Center of Biotechnology Information*). Sekuen nukleotida diunduh dan disimpan dalam format Fasta. Untuk mendapatkan sekuen asam

amino, dipilih *link CDS* pada halaman informasi genom tersebut. Sekuen asam amino diunduh dan disimpan dalam format Fasta.

3.3.2. Analisis Profil Poliprotein Virus Hepatitis C secara *In Silico*

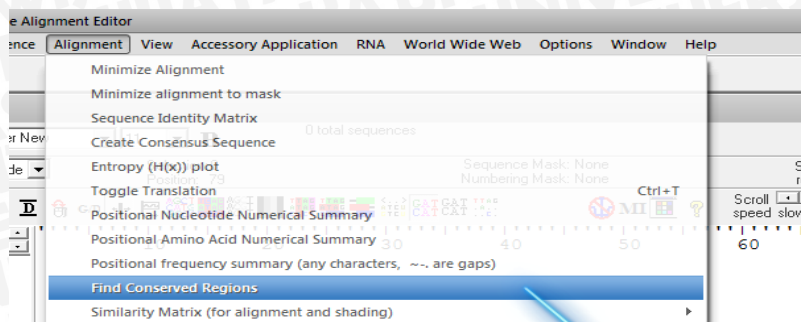
a. Pohon filogeni dan Homologi Antar Genom Virus Hepatitis C

Pembuatan pohon filogeni dan homologi antar genom virus Hepatitis C dilakukan dengan mensejajarkan sekuen (*alignment*) nukleotida dan asam amino masing-masing tipe dan ditambahkan 1 genome di luar takson Virus Hepatitis C sebagai *outgroup*. Analisis *alignment* ini menggunakan software MEGA 4 (*Molecular Evolutionary Genetics Analysis*). Setelah dilakukan *alignment*, dibuat pohon filogeni dari variabel genom tersebut untuk memvisualisasikan hasil analisis *alignment* tersebut. *Alignment* MEGA menggunakan ClustalW yang dikembangkan oleh Thompson dkk (1994) yang dapat mengalign Nukleotida dan Asam Amino. Analisis pohon filogeni dengan menggunakan *Neighbour Joining* yang menggunakan nilai perbandingan dua sekuen dan satu sekuen dengan seluruh sekuen yang dikembangkan oleh Yang dan Kumar (1996). Nilai yang tertera pada bagan merupakan skala jarak evolusioner yang dihitung menggunakan metode koreksi Poisson.

b. Analisis Daerah Terkonservasi (*Conserved Region*) dengan BioEdit

Analisis *Conserved Region* dilakukan setelah mensejajarkan (*alignment*) sekuen poliprotein. *Alignment* dilakukan dengan menggunakan program BioEdit dengan ClustalW yang algoritma digunakan oleh Thompson dkk (1994). Analisis daerah terkonservasi dapat dilakukan dengan cara

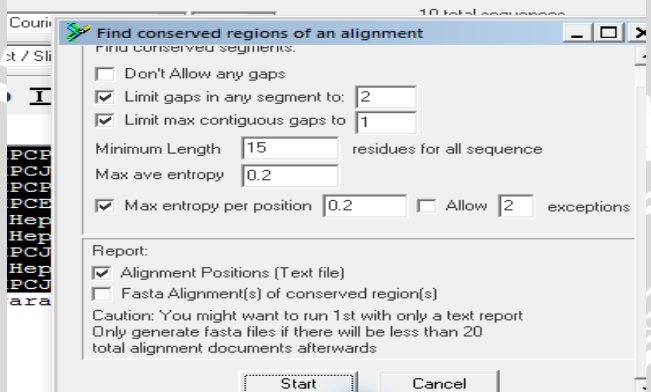
1. Dipilih menu alignment
2. Dipilih menu *find conserved region*
3. Setelah muncul kotak dialog,
4. Ditentukan parameter panjang sekuen
5. Dipilih *start* untuk memulai proses analisis



(a)

Sequence Alignment Editor - [D:\DARI DO\data NCBI\HCV all.fasta]

Edit Sequence Alignment View Accessory Application RNA World



(b)

Gambar 3.1 Proses analisis *Conserved Region* dengan BioEdit

- Memilih menu *alignment* pada menu baran memilih *find conserve region*
- menentukan parameter panjang sekuen yang dianggap *conserv*

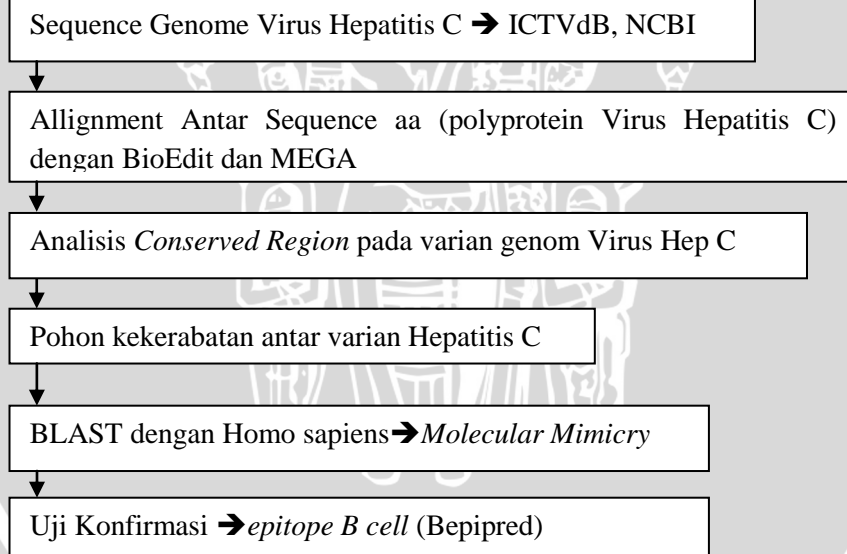
Setelah muncul hasil tersebut, kemudian data disesuaikan dengan region pada masing- masing varian virus Hepatitis C. Sehingga dapat ditentukan region yang terkonservasi pada seluruh varian Virus Hepatitis C.

3.3.3 Analisis Potensi *Mimicry* Poliprotein Virus Hepatitis C terhadap Protein *Homo sapiens*

Poliprotein Virus Hepatitis C didapatkan dari NCBI (telah tertera pada profil organisme) kemudian dipilih salah satu nama poliprotein yang dibentuk oleh Virus Hepatitis C untuk lebih spesifik sekuen yang muncul hanya untuk bagian salah satu protein yang dibentuk. Kemudian dipilih BLAST pada *menu bar*. Setelah masuk jendela konfigurasi BLAST, dipilih organisme yang akan dibandingkan yaitu *Homo sapiens*.

Protein yang telah didapatkan dan diduga mimic dengan protein *Homo sapiens* diuji konfirmasi dengan memprediksi epitope Sel B dengan menggunakan Bepipred dengan metode Larsen dan Nielsen (2006) untuk memastikan bahwa protein tersebut dapat memicu reaksi dari sel B untuk berproliferasi dan menghasilkan antibodi.

3.4 Kerangka kerja



Gambar 2.3 Bagan kerangka kerja penelitian

BAB IV

HASIL DAN PEMBAHASAN

4.1 Genom Virus Hepatitis C

Data genom Virus Hepatitis C diambil dari ICTVdB (*International Comitte Taxonomy of Virus Data Base*). Data yang didapatkan, terdapat 9 Genom Virus Hepatitis C seperti tabel dibawah ini

Tabel 4.1. Genom Virus Hepatitis C dan Virus ParaInfluenza tipe 1 (sebagai *outgroup*)

No	Genom virus Hepatitis C	Accession Number (Nucleotide-Amino Acid)	Author
1	1A	M62321.1-AAA45676.1	Choo,Q.-L., Richman,K., Han,J.H., Berger,K., Lee,C., Dong,C., Gallegos,C., Coit,D., Medina-Selby,A., Barr,P.J., Weiner,A., Bradley,D.W., Kuo,G. and Houghton,M.
2	1B	D90208.1-BAA14233.1	Kato,N., Hijikata,M., Ootsuyama,Y., Nakagawa,M., Ohkoshi,S. and Shimotohno,K.
3	2A	D00944.1-BAA00792.1	Okamoto,H., Okada,S., Sugiyama,Y., Kurai,K., Iizuka,H., Machida,A., Miyakawa,Y. and Mayumi,M.
4	3A	D17763.1-BAA04609.1	Sakamoto,M., Akahane,Y., Tsuda,F., Tanaka,T., Woodfield,D.G. and Okamoto,H.
5	4A	Y11604.1-CAA72338.1	Chamberlain,R.W., Adams,N., Saced,A.A., Simmonds,P. and Elliott,R.M.
6	5A	Y13184-CAA73640.1	Chamberlain,R.W., Adams,N.J., Taylor,L.A., Simmonds,P. and Elliott,R.M.
7	6A	Y12083.1-CAA72801.1	Adams,N.J., Chamberlain,R.W., Taylor,L.A., Davidson,F., Lin,C.K., Elliott,R.M. and Simmonds,P.
8	10	D63821.1-BAA09890.1	Tokita,H., Okamoto,H., Iizuka,H., Kishimoto,J., Tsuda,F., Lesmana,L.A., Miyakawa,Y. and Mayumi,M.
9	11	D63822.1-BAA09891.1	Tokita,H., Okamoto,H., Iizuka,H., Kishimoto,J., Tsuda,F., Lesmana,L.A., Miyakawa,Y. and Mayumi,M.
10	Human ParaInfluenza Virus 1	M22347.1-AAA46800.1	Merson,J.R., Hull,R.A., Estes,M.K. and Kasel,J.A.

Pada tabel tersebut terdapat data Virus ParaInfluenza tipe 1 sebagai pembanding untuk dilakukan analisis kekerabatan dan daerah yang terkonservasi antar varian Virus Hepatitis C. Berdasarkan (Chevaliez dan Pawlotsky, 2006) terdapat 7 varian genom dari Virus Hepatitis C, sedangkan yang didapatkan pada ICTVdB terdapat 9 varian.

4.2 Pensejajaran sekuen (*Alignment*), analisis daerah Terkonservasi (*Conserved Region*), dan Pohon Filogeni Genom Virus Hepatitis C

Pensejajaran sekuen nukleotida berfungsi untuk menentukan daerah yang terkonservasi dari genom RNA pada virus Hepatitis C. Hal ini dapat dijadikan informasi untuk merancang vaksin, dimana dapat ditentukan letak daerah yang memiliki kesamaan struktur dan komposisi basa nukleotida, sehingga memiliki keefektifan untuk digunakan bagi semua varian.

Berdasarkan hasil analisis *alignment* dan *Conserved region* (lampiran 1), didapatkan 17 *conserved region* sebagai berikut

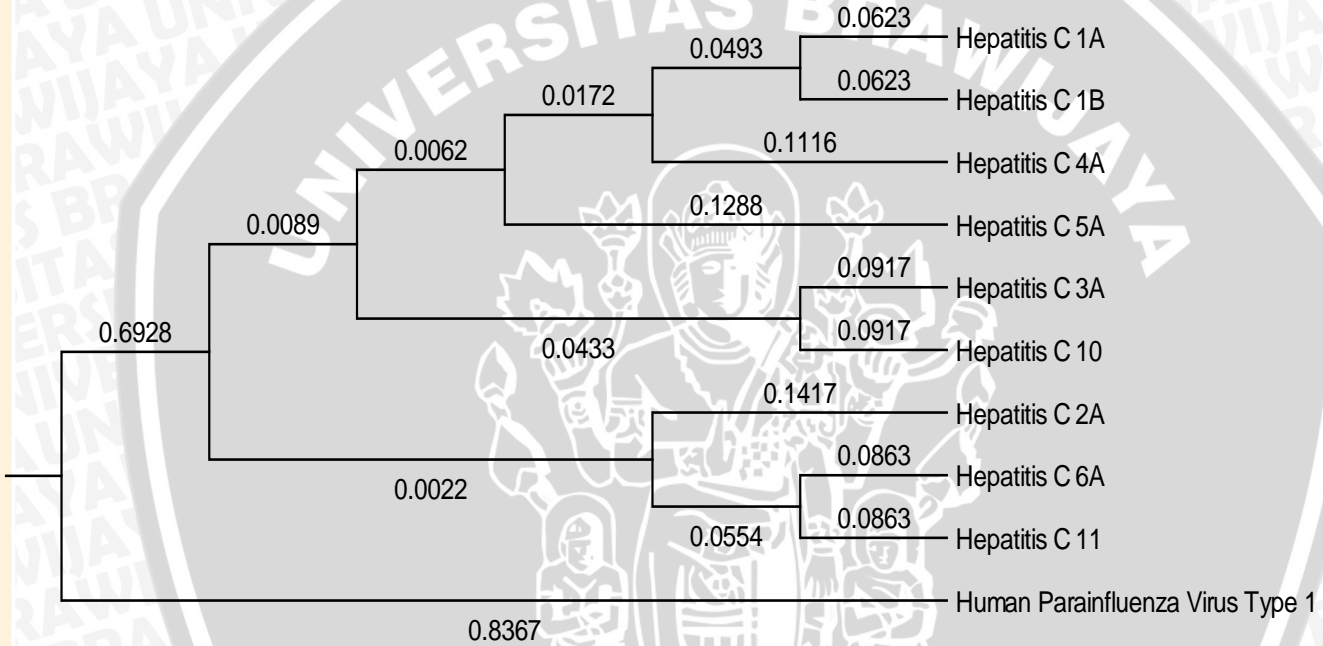
Tabel 4.2. Letak *Conserved Region* pada Poliprotein

POSISI	Jenis Poliprotein
Posisi 21 - 35	Capsid
Posisi 92 - 101	Capsid
Posisi 504 – 517	NS1
Posisi 588 – 597	NS1
Posisi 1258 – 1268	DEAD-like helicases superfamily
Posisi 1337 – 1347	DEAD-like helicases superfamily
Posisi 1393 – 1409	Helicase superfamily c-terminal domain (Helic C)
Posisi 1452 – 1462	Diantara NS3- NS4 (UTR)
Posisi 1627 – 1636	Diantara NS3- NS4 (UTR)
Posisi 1777 – 1793	NS4B
Posisi 1921 – 1935	Diantara NS4B- NS5A (UTR)
Posisi 2401 – 2415	Diantara NS5A 1B- RNA Dependen RNA Polimerase (UTR)

Posisi 2591 – 2600	RNA Dependen RNA Polimerase
Posisi 2672 – 2682	RNA Dependen RNA Polimerase
Posisi 2797 – 2807	RNA Dependen RNA Polimerase
Posisi 2819 – 2828	> RNA Dependen RNA Polimerase (UTR)
Posisi 2859 – 2868	> RNA Dependen RNA Polimerase (UTR)

Parameter diatur panjang sekuen untuk analisis *conserved region* yaitu 10 asam amino = 30 basa nukleotida. Hal ini bertujuan untuk mendapatkan region atau daerah yang *Highly Conserved*. Karena jika perancangan vaksin berdasarkan daerah yang *Highly Conserved*, akan dapat meningkatkan muatan antigenik pada epitope vaksin (Jones dkk, 2010).

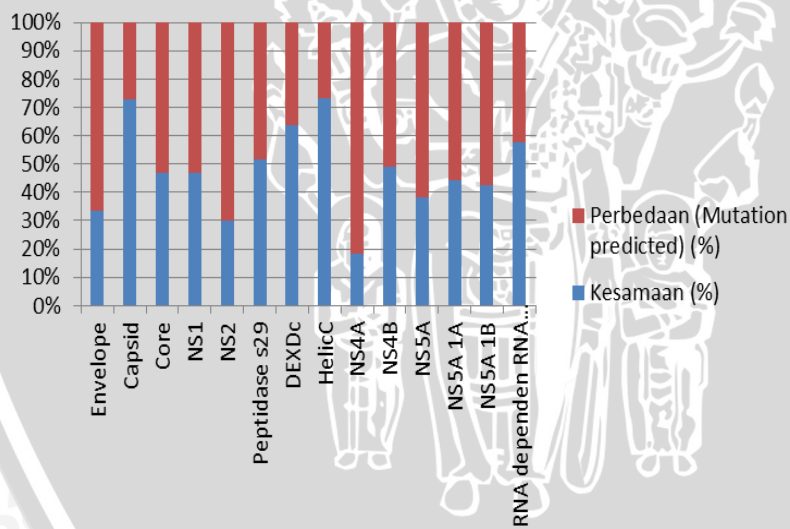
Berdasarkan data hasil analisis yang didapatkan, terdapat 11 *functional region* dan 6 *non functional region*. Hal ini menunjukkan terdapat *Highly Conserved Region* yang berada pada *functional region*. Keanekaragaman Genetis pada Virus Hepatitis C ini berkisar 60- 70 %, meskipun virus Hepatitis C ini mudah termutasi. Karena Virus Hepatitis C juga memiliki sifat cepat termutasi, maka Virus Hepatitis C mudah untuk *escaping* dari sistem imun yang ada dalam tubuh. Berdasarkan hasil yang didapatkan, variasi genetik pada genom virus hepatitis C, tidak hanya terdapat pada bagian *envelope*, tetapi juga terjadi pada bagian yang lain. Bagian yang tidak banyak terkonservasi adalah bagian envelope, NS2, dan NS3 yang termasuk bagian peptidase 29. Dari hal tersebut dapat dikatakan bahwa banyaknya variasi genetik yang terjadi pada daerah tersebut. maka *site* itulah terjadinya mutasi. Hasil yang didapatkan sesuai dengan pernyataan WHO (2010) dimana mutasi yang terjadi pada genom Virus Hepatitis C tidak terjadi pada seluruh bagian genom, melainkan terjadi pada hipervariabel region.



Gambar 4.1 Pohon filogeni dari varian virus Hepatitis C dengan MEGA 4

Dari pohon filogeni yang dihasilkan dari hasil analisis *alignment* dapat diartikan bahwa varian yang ditunjukkan urutan angka, bukan menunjukkan kekerabatan yang dekat, tetapi berdasarkan waktu penemuan Genom Virus Hepatitis C tersebut. Dari Pohon kekerabatan tersebut dapat diketahui keragaman ekspresi poliprotein Virus Hepatitis C. Hal ini berkaitan dengan hasil analisis *Conserved region* yang terdapat beberapa *site* yang tidak terkonservasi, atau dengan kata lain *site* tersebut mudah sekali termutasi.

Sebagai analisis tambahan dilakukan analisis *sequence alignment* pada masing- masing protein Virus Hepatitis C untuk lebih membuktikan bagian yang lebih banyak termutasi, sehingga dapat dijadikan informasi untuk perlakuan *treatment* yang tepat. Berdasarkan hasil alignment per region, didapatkan hasil variasi genetik dimana diprediksi menunjukkan *mutation site* pada masing-masing genom, berikut merupakan hasil persentase kesamaan dan perbedaan *site* pada masing- masing genom.



Gambar 4.2 Perbandingan daerah yang terkonservasi dengan daerah yang diduga mengalami mutasi

Berdasarkan gambar 4.2, dapat dilihat warna biru pada diagram batang menunjukkan kesamaan atau *conserve* dan bagian yang berwarna merah menunjukkan persentase dalam site diduga termutasi. Pada beberapa *site* yang menunjukkan lebih tingginya sekuen yang termutasi, maka secara keseluruhan, genom virus hepatitis C mudah termutasi. Hal ini sesuai dengan penelitian dari Cuevas dkk, (2009) yang menyatakan bahwa materi genetik RNA memiliki *mutation rate* yang tinggi yang dapat memunculkan diversitas genetik yang tinggi pula dan memengaruhi tingkat evolusi. Hal ini juga akan berpengaruh pada virus yang memiliki genom RNA, yang perlu penelitian lebih untuk mengatasi masalah yang ditimbulkan seperti pemberian obat pada penderita.

4.3 Analisis *Molecular Mimicry* dengan BLAST dan Bepipred

Analisis kemiripan molekul (protein) antara *Homo sapiens* dengan poliprotein Virus Hepatitis C dilakukan dengan menggunakan fasilitas BLAST yang dapat mencari kemiripan struktur asam amino pada dua organisme tersebut. Berdasarkan hasil, terdapat kemiripan molekul antara protein yang ada di manusia dengan poliprotein virus Hepatitis C. *Molecular mimicry* terjadi pada protein intraseluler maupun ekstraseluler. Pada penelitian ini dipilih protein mimic yang berada di ekstraseluler, karena bagian extraseluler yang akan dikenali terlebih dahulu oleh sel-sel imunokompeten. Jika sel imunokompeten yang telah mengenali protein virus, maka bagian yang mimic pada extrseluler manusia akan juga dikenali terlebih dahulu, terutama bagian pada permukaan sel yang akan menginisiasi kerusakan atau lisisnya sel.

Berikut merupakan hasil analisis *alignment* poliprotein Virus Hepatitis C dengan protein *Homo sapiens*

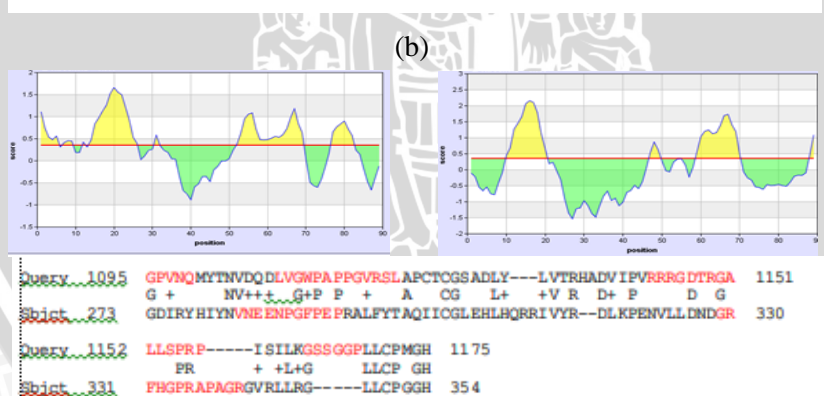
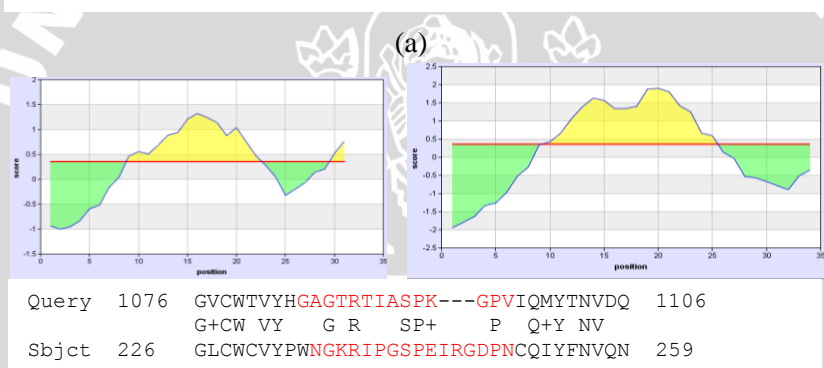
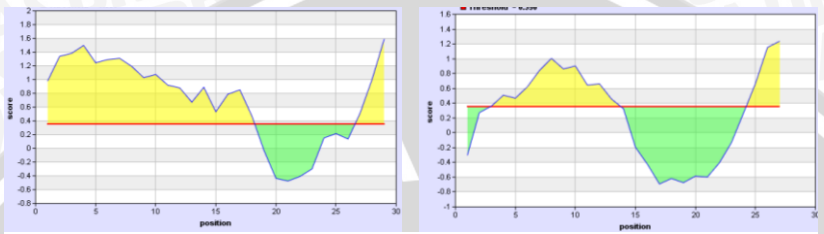
Tabel 4.3 Protein *mimic* (*Polyprotein HCV-Homo sapiens*)

Genom	Polyprotein	Mimic Protein
1A	CAPSID	intrinsic factor-B12 receptor precursor [Homo sapiens]
	NS3	G protein-coupled receptor kinase 1 [Homo sapiens]
		Insulin-like growth factor binding protein 1 [Homo sapiens]
	RNA dependen RNA Polimerase	TGF-beta type II receptor [Homo sapiens]

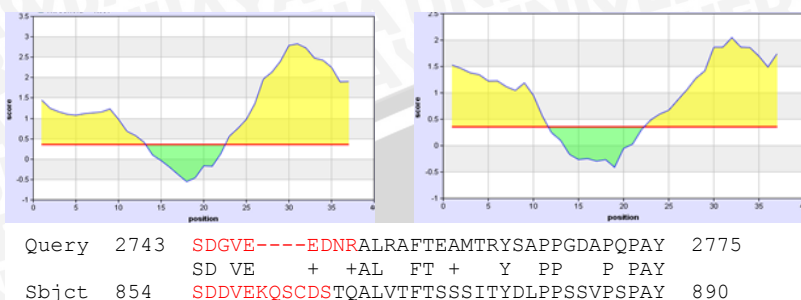
1B	DEAD Box	olfactory receptor 52E2 [Homo sapiens]
		seven transmembrane helix receptor [Homo sapiens]
	NS5A 1B	olfactory receptor 9Q2 [Homo sapiens]
2A	NS5A	olfactory receptor 9G4 [Homo sapiens]
3A	NS4B	actin, aortic smooth muscle [Homo sapiens]
	NS5	olfactory receptor 8D1
		seven transmembrane helix receptor [Homo sapiens]
4A	NS4A	TNF receptor-associated protein 1
	Peptidase S- 29/NS3	G protein-coupled receptor kinase
	RNA dependen RNA Polimerase	G protein-coupled receptor LGR5
5A	NS5A	olfactory receptor, family 5, subfamily W, member 2
	NS5A 1A	tumor necrosis factor receptor superfamily member 21
6A	CAPSID	intrinsic factor-B12 receptor precursor
	DEXDC	seven transmembrane helix receptor [Homo sapiens]
		olfactory receptor 52E2 [Homo sapiens]
	NS5A	Receptor (G protein-coupled) activity modifying protein 3 [Homo sapiens]
		cardiac sodium channel alpha subunit [Homo sapiens]
10	CAPSID	intrinsic factor-vitamin B12 receptor [Homo sapiens]
	NS2	extracellular matrix protein QBRICK [Homo sapiens]
	NS5A	olfactory receptor OR7-15 [Homo sapiens]
11	HelicC	olfactory receptor 4F5 [Homo sapiens]
	NS1	G protein-coupled receptor 123, isoform CRA_a [Homo sapiens]
	Peptidase S- 29/NS3	IGF-binding preprotein (AA -25 to 234) [Homo sapiens]

Setelah didapatkan protein yang mimic tersebut, dilakukan uji konfirmasi epitop (Lampiran 3 dan 4) dari masing- masing protein tersebut untuk mengetahui kemampuan protein-protein tersebut untuk memicu reaktifitas sel B. Berdasarkan hasil analisis ini, didapatkan yaitu *intrinsic factor* B12, *G protein-coupled receptor kinase* 1, *Insulin-like growth factor binding protein* 1, G protein-coupled receptor LGR5, dan *Tumor Necrosis Factor Receptor superfamily member* 21. Beberapa protein tersebut memiliki epitop

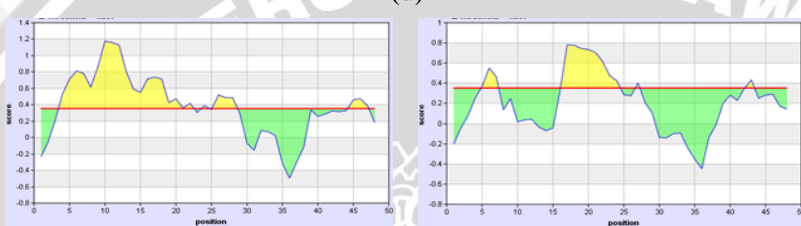
dan asam amino yang serupa antara protein *Homo sapiens* dengan Polyprotein Virus Hepatitis C. Sehingga dapat diasumsikan bahwa kedua protein tersebut *mimic* dan memiliki epitop yang serupa untuk memicu aktivasi sel B.



(c)



(d)



(e)

Gambar 4.3 Hasil analisis spitop sel B dengan Bepipred dan sekuen masing- masing protein

Keterangan: Beberapa protein memiliki kesamaan ekspresi epitope, baik pada protein *Homo sapiens* maupun pada poliprotein virus. Sumbu axis menunjukkan urutan sekuen, sumbu ordinat : skor epitope. Gambar kanan: protein *Homo sapiens* (*Subject*), kiri: poliprotein Virus Hepatitis C (*query*). Sekuen berwarna merah menunjukkan sekuen yang diduga memunculkan epitope.

- Letak epitop pada protein *intrinsic factor-B12 receptor precursor*
- Letak epitope pada protein *Insulin-like growth factor binding protein 1*
- Letak epitope pada protein *G protein-coupled receptor kinase 1*
- Letak epitope pada protein *G protein-coupled receptor LGR5*
- Letak epitope pada protein *tumor necrosis factor receptor superfamily member 21*

Protein *G protein coupled receptor kinase 1* dan *G protein coupled receptor LGR5* merupakan protein dalam satu famili yang tergabung di dalam G Protein Receptor. Reseptor penciuman memiliki kelas Reseptor yang disebut *G Protein Coupled Receptor* (GPCR). Protein ini mencakup protein *seven α transmembrane receptor* yang terletak pada membran sel sebagai reseptor dan

penginduksi signal transduksi pada intraselular (Universal Protein KnowledgeBase, 2011). Berdasarkan data *Genebank* (NCBI) protein-protein tersebut masuk ke dalam cangkupan GPCR. Protein ini memiliki 662 gen terdapat pada *Olfactory organ*. Meskipun pada organ lain terdapat protein ini, tetapi berdasarkan hasil informatika, protein ini masuk ke dalam protein olfactory. Protein ini terdapat di seluruh tubuh sehingga diduga kurang dapat menimbulkan *mimicry*.

Pada hasil yang didapatkan terdapat protein *intrinsic factor-B12 receptor precursor* merupakan protein yang berfungsi untuk *uptake* vitamin B12. Reseptor ini biasa disebut dengan *cubilin receptor*. Reseptor ini terletak pada ginjal dan pada usus sebagai absorber B12 dari makanan. Jika letak reseptor ini banyak pada ginjal, diduga protein inilah yang nantinya akan memunculkan autoantibodi yang disebut Anti *Liver- Kidney Microsomal* (Anti-LKM antibodies). Anti LKM merupakan salah satu antibodi yang terdapat pada serum penderita autoimun Hepatitis seperti pada penelitian Zachou dkk, (2004).

Insulin Like Growth Factor Binding Protein 1 merupakan suatu protein yang dapat melakukan kompleks binding dengan *Insulin Like Growth Factor* (IGF) 1 dan 2. IGF binding protein dapat terletak di dalam liver (hepar) untuk mengikat IGF-1, protein ini juga berperan dalam menginisiasi *Growth Hormon* pada liver untuk memproduksi IGF-1. Hal ini penting dilakukan untuk pertumbuhan dan perkembangan femur dan otot. Protein ini banyak terdapat di hepar, tetapi karena protein ini merupakan protein sitoplasma, sehingga kurang memungkinkan sebagai protein *mimic*.

Protein *Tumor necrosis factor receptor superfamily member 21* adalah salah satu protein yang diduga *mimic* dengan protein *Homo sapiens* saat infeksi virus Hepatitis C. Protein ini sering disebut *Death Receptor- 6* (DR-6). DR- 6 banyak terekspresi di organ limfoid, hepar, jantung dan pankreas (Benschop , dkk., 2009). Protein ini dapat diduga sebagai salah satu penyebab rusaknya sel hepatosit karena protein ini *mimic* dan nantinya juga akan dikenali sebagai protein antigen oleh sel imunokompeten. Munculnya autoantibodi seperti *anti- Smooth Muscle Antibody* dan *anti nuclear antibody* dapat terjadi karena organ yang dikenali sebagai antigen

oleh sel imunokompeten adalah organ yang memiliki jaringan otot polos dan berinti tunggal.

Berdasarkan hasil dan studi pustaka yang dilakukan pada penelitian ini, polyprotein virus hepatitis C diduga *mimic* dengan protein *Homo sapiens*. Dari potensi mimicry dapat diduga pula munculnya autoimun hepatitis dapat berasal dari infeksi virus hepatitis C yang dapat memunculkan *autoantibody specific organ* (hepar) maupun *non specific organ*.



BAB V PENUTUP

5.1 Kesimpulan

Polyprotein virus hepatitis C memiliki 17 *highly conserved region* dengan parameter 10 asam amino atau 30 nukleotida. Sepuluh daerah dari 17 sekuen asam amino terletak pada *functional region* dan 7 lainnya terletak pada *non functional region*. Penomoran genom pada virus hepatitis C diduga bukan berdasarkan kemiripan struktur atau komponen asam amino tetapi berdasarkan urutan waktu penemuan genom virus. Mutasi pada polyprotein virus hepatitis C terdapat hampir pada seluruh region. Mutasi banyak terjadi pada NS4 region, NS2 region, dan envelope region.

Infeksi virus hepatitis C diduga dapat menginduksi terjadinya *molecular mimicry* sebagai salah satu penyebab autoimun hepatitis. Protein *intrinsic factor-B12 receptor precursor*, *Tumor necrosis factor receptor superfamily member 21* merupakan protein yang diduga dapat menimbulkan reaksi mimicry, sedangkan protein *G protein-coupled receptor kinase 1*, *G protein-coupled receptor LGR5* dan *Insulin-like growth factor binding protein 1* diduga tidak berperan sebagai protein yang *mimic* karena persebarannya hampir di seluruh tubuh dan terletak pada sitoplasma.

5.2 Saran

Pada penelitian selanjutnya sebaiknya membandingkan antar metode yang telah dimiliki untuk *profiling polyprotein* yang lebih *advance* dan dapat mengkonfirmasi munculnya autoantibodi pada *mimicry*. Data yang digunakan dapat diuji konfirmasi dalam kondisi *in vitro* dan *in vivo*.

DAFTAR PUSTAKA

- Abbas A. K. Andrew H. Lichman ,dan Shiv Pillai. 2009. **Cellular and Molecular Immunology 6th Edition: updated Edition.** Saunders Elsevier. Philadelphia.
- Baratawidjaja, K. G. 2006. **Imunologi Dasar: Edisi Ketujuh.** Balai Penerbit FKUI. Jakarta.
- Benschop .R, Wei T., dan Na S. 2009. **Tumor Necrosis Factor Receptor Superfamily member 21.** Adv Exp Med Biol. 647:186-94.
- Blight K. J. dan Norgard E. A. 2006. HCV Replicon System. http://www.horizonbioscience.com/HCV_replicon_system. diakses tanggal 21 Juni 2010.
- Chevaliez S. dan Pawlotsky. 2006. Virus Hepatitis C Genome and Life-Cycle. http://www.horizonbioscience.com/HCV_Genome_and_Life_Cycle. diakses tanggal 21 Juni 2010.
- Cuevas J. M., P. D. Calap, M. P Calap. and R. Sanjuán. 2009. Experimental Evolution and Population Genetics of RNA Viruses. *The Open Evolution Journal.* (3): 9-16.
- Hermawan, Guntur. 2004. **Perspektif Masa Depan Imunologi Infeksi.** Sebelas Maret University Press. Surakarta.
- ICTVdB Management. 2006. 00.026.0.03.001. Hepatitis C virus. In: ICTVdB - The Universal Virus Database, version 4. Büchen-Osmond, C. (Ed), Columbia University, New York, USA. diakses tanggal 05 Desember 2010.
- Jones, G. J. Stephen V. Gordon, R. Hewinson G. ,dan H. M. Vordermeier. 2010. Screening of Predicted Secreted Antigens from Mycobacterium bovis Reveals the Immunodominance of the ESAT-6 Protein Family. *Infection and Immunity.* 78 (3): 1326–1332.
- Kresno. S.B. 2001. **Imunologi: Diagnosis dan Prosedur Laboratorium.** Balai Penerbit Fakultas Kedokteran Universitas Indonesia , Jakarta.

- Lipman. D.J., Altschul S.F., Kececioglu J.D. 1989. A tool for multiple sequence alignment. *Proc. Natl. Acad. Sci.* 86:4412-4415.
- MEGA. 2010. MEGA *Phylogenetic and Molecular Evolutionary Analysis*. <http://www.megasoftware.net/>. Diakses tanggal 05 Desember 2010.
- Meine. 2009. BioEdit Tutorial. <http://chemistry.umeche.maine.edu/CHY431/BioEdit.html>. diakses tanggal 05 Desember 2010.
- Miyaaki, H. 2009. Study Of Liver- Targeted Regulatory T Cells in Hepatitis B and C Virus in Chronically Infected Patients. *Liver International Journal*. 29(5):702-707.
- Ogden, T.H. dan Rosenberg M.S.. 2006. Multiple sequence alignment accuracy and phylogenetic inference. *Syst. Biol.* 55(2): 314-328.
- Thompson J.D. ,Higgins D.G. ,dan Gibson T.J. 1994. ClustalW—improving the sensitivity of progressive multiple sequence alignment through sequence weighting, position-specific gap penalties and weight matrix choice. *Nucleic Acids Res.* 22:4673-4680.
- Universal Protein KnowledgeBase. 2011. Olfactory Receptor Review. <http://www.uniprot.org/uniprot/Q8NGJ2>. Tanggal akses 06 Juni 2011.
- University of Virginia. 2007. Liver, Biliary, and Pancreatic Disorders. http://www.healthsystem.virginia.edu/uvahealth/adult_liver/home.cfm. Diakses tanggal 26 Mei 2010.
- WHO. 2010. The Hepatitis C Virus. <http://www.who.int/entity/csr/disease/hepatitis/en/>. Diakses tanggal 21 Juni 2010.
- Yang Z. dan Kumar S. 1996. Approximate methods for estimating the pattern of nucleotide substitution and the variation of substitution rates among sites. *Mol Biol Evol* 1996;13:650-659.
- Zachou, K. Rigopoulao, E. dan Dalekos G. N. 2004. Autoantibodies and Autoantigens in Autoimmune Hepatitis: Important Tools in Clinical Practice and to Study Pathogenesis of The Disease. *Journal of Autoimmune Diseases* 2004, 1(2). 17 pp.

LAMPIRAN 1 Hasil Analisis *Conserved Region* dengan *BioEdit*

BioEdit version 7.0.5.3 (10/28/05)

Conserved region search

Alignment file: Untitled1

5/10/2011 1:20:50 PM

Minimum segment length (actual for each sequence): 10

Maximum average entropy: 0.2

Maximum entropy per position: 0.2

Gaps limited to 2 per segment

Contiguous gaps limited to 1 in any segment

17 conserved regions found

Region 1: Position 21 to 35

Consensus:

21 DVKFPGGGQIVGGVY 35

Segment Length: 15

Average entropy (Hx): 0.0000

Position 21 : 0.0000

Position 22 : 0.0000

Position 23 : 0.0000

Position 24 : 0.0000

Position 25 : 0.0000

Position 26 : 0.0000

Position 27 : 0.0000

Position 28 : 0.0000

Position 29 : 0.0000

Position 30 : 0.0000

Position 31 : 0.0000

Position 32 : 0.0000

Position 33 : 0.0000

Position 34 : 0.0000

Position 35 : 0.0000

Region 2: Position 92 to 101

Consensus:

92 GWAGWLSPR 101

Segment Length: 10

Average entropy (Hx): 0.0000

Position 92 : 0.0000

Position 93 : 0.0000

Position 94 : 0.0000
Position 95 : 0.0000
Position 96 : 0.0000
Position 97 : 0.0000
Position 98 : 0.0000
Position 99 : 0.0000
Position 100 : 0.0000
Position 101 : 0.0000

Region 3: Position 504 to 517

Consensus:
504 VCGPVYCFTPSPVV 517

Segment Length: 14
Average entropy (Hx): 0.0000
Position 504 : 0.0000
Position 505 : 0.0000
Position 506 : 0.0000
Position 507 : 0.0000
Position 508 : 0.0000
Position 509 : 0.0000
Position 510 : 0.0000
Position 511 : 0.0000
Position 512 : 0.0000
Position 513 : 0.0000
Position 514 : 0.0000
Position 515 : 0.0000
Position 516 : 0.0000
Position 517 : 0.0000

Region 4: Position 588 to 597

Consensus:
588 CPTDCFRKHP 597

Segment Length: 10
Average entropy (Hx): 0.0000
Position 588 : 0.0000
Position 589 : 0.0000
Position 590 : 0.0000
Position 591 : 0.0000
Position 592 : 0.0000
Position 593 : 0.0000
Position 594 : 0.0000
Position 595 : 0.0000

Position 596 : 0.0000
Position 597 : 0.0000

Region 5: Position 1258 to 1268

Consensus:
1258 VLVLNPSVAAT 1268

Segment Length: 11
Average entropy (Hx): 0.0000
Position 1258 : 0.0000
Position 1259 : 0.0000
Position 1260 : 0.0000
Position 1261 : 0.0000
Position 1262 : 0.0000
Position 1263 : 0.0000
Position 1264 : 0.0000
Position 1265 : 0.0000
Position 1266 : 0.0000
Position 1267 : 0.0000
Position 1268 : 0.0000

Region 6: Position 1337 to 1347

Consensus:
1337 GTVLDQAETAG 1347

Segment Length: 11
Average entropy (Hx): 0.0000
Position 1337 : 0.0000
Position 1338 : 0.0000
Position 1339 : 0.0000
Position 1340 : 0.0000
Position 1341 : 0.0000
Position 1342 : 0.0000
Position 1343 : 0.0000
Position 1344 : 0.0000
Position 1345 : 0.0000
Position 1346 : 0.0000
Position 1347 : 0.0000

Region 7: Position 1393 to 1409

Consensus:
1393 KGGRHLIFCHSKKKCDE 1409

Segment Length: 17
Average entropy (Hx): 0.0000
Position 1393 : 0.0000
Position 1394 : 0.0000
Position 1395 : 0.0000
Position 1396 : 0.0000
Position 1397 : 0.0000
Position 1398 : 0.0000
Position 1399 : 0.0000
Position 1400 : 0.0000
Position 1401 : 0.0000
Position 1402 : 0.0000
Position 1403 : 0.0000
Position 1404 : 0.0000
Position 1405 : 0.0000
Position 1406 : 0.0000
Position 1407 : 0.0000
Position 1408 : 0.0000
Position 1409 : 0.0000

Region 8: Position 1452 to 1462

Consensus:

1452 TGDFDSVIDCN 1462

Segment Length: 11
Average entropy (Hx): 0.0000
Position 1452 : 0.0000
Position 1453 : 0.0000
Position 1454 : 0.0000
Position 1455 : 0.0000
Position 1456 : 0.0000
Position 1457 : 0.0000
Position 1458 : 0.0000
Position 1459 : 0.0000
Position 1460 : 0.0000
Position 1461 : 0.0000
Position 1462 : 0.0000

Region 9: Position 1627 to 1636

Consensus:

1627 GPTPLLYRLG 1636

Segment Length: 10
Average entropy (Hx): 0.0000

Position 1627 : 0.0000
Position 1628 : 0.0000
Position 1629 : 0.0000
Position 1630 : 0.0000
Position 1631 : 0.0000
Position 1632 : 0.0000
Position 1633 : 0.0000
Position 1634 : 0.0000
Position 1635 : 0.0000
Position 1636 : 0.0000

Region 10: Position 1777 to 1793

Consensus:

1777 SGIQYLAGLSTLPGNPA 1793

Segment Length: 17

Average entropy (Hx): 0.0000

Position 1777 : 0.0000
Position 1778 : 0.0000
Position 1779 : 0.0000
Position 1780 : 0.0000
Position 1781 : 0.0000
Position 1782 : 0.0000
Position 1783 : 0.0000
Position 1784 : 0.0000
Position 1785 : 0.0000
Position 1786 : 0.0000
Position 1787 : 0.0000
Position 1788 : 0.0000
Position 1789 : 0.0000
Position 1790 : 0.0000
Position 1791 : 0.0000
Position 1792 : 0.0000
Position 1793 : 0.0000

Region 11: Position 1921 to 1935

Consensus:

1921 QWMNRLLIAFASRGNH 1935

Segment Length: 15

Average entropy (Hx): 0.0000

Position 1921 : 0.0000
Position 1922 : 0.0000
Position 1923 : 0.0000

Position 1924 : 0.0000
Position 1925 : 0.0000
Position 1926 : 0.0000
Position 1927 : 0.0000
Position 1928 : 0.0000
Position 1929 : 0.0000
Position 1930 : 0.0000
Position 1931 : 0.0000
Position 1932 : 0.0000
Position 1933 : 0.0000
Position 1934 : 0.0000
Position 1935 : 0.0000

Region 12: Position 2401 to 2415

Consensus:

2401 SSMPPLEGEPGDPDL 2415

Segment Length: 15
Average entropy (Hx): 0.0000
Position 2401 : 0.0000
Position 2402 : 0.0000
Position 2403 : 0.0000
Position 2404 : 0.0000
Position 2405 : 0.0000
Position 2406 : 0.0000
Position 2407 : 0.0000
Position 2408 : 0.0000
Position 2409 : 0.0000
Position 2410 : 0.0000
Position 2411 : 0.0000
Position 2412 : 0.0000
Position 2413 : 0.0000
Position 2414 : 0.0000
Position 2415 : 0.0000

Region 13: Position 2591 to 2600

Consensus:

2591 TTIMAKNEVF 2600

Segment Length: 10
Average entropy (Hx): 0.0000
Position 2591 : 0.0000
Position 2592 : 0.0000
Position 2593 : 0.0000

Position 2594 : 0.0000
Position 2595 : 0.0000
Position 2596 : 0.0000
Position 2597 : 0.0000
Position 2598 : 0.0000
Position 2599 : 0.0000
Position 2600 : 0.0000

Region 14: Position 2672 to 2682

Consensus:

2672 FSYDTRCFDST 2682

Segment Length: 11

Average entropy (Hx): 0.0000

Position 2672 : 0.0000
Position 2673 : 0.0000
Position 2674 : 0.0000
Position 2675 : 0.0000
Position 2676 : 0.0000
Position 2677 : 0.0000
Position 2678 : 0.0000
Position 2679 : 0.0000
Position 2680 : 0.0000
Position 2681 : 0.0000
Position 2682 : 0.0000

Region 15: Position 2797 to 2807

Consensus:

2797 AMTRYSAAPPGD 2807

Segment Length: 11

Average entropy (Hx): 0.0000

Position 2797 : 0.0000
Position 2798 : 0.0000
Position 2799 : 0.0000
Position 2800 : 0.0000
Position 2801 : 0.0000
Position 2802 : 0.0000
Position 2803 : 0.0000
Position 2804 : 0.0000
Position 2805 : 0.0000
Position 2806 : 0.0000
Position 2807 : 0.0000

Region 16: Position 2819 to 2828

Consensus:

2819 TSCSSNVNSVA 2828

Segment Length: 10

Average entropy (Hx): 0.0000

Position 2819	:	0.0000
Position 2820	:	0.0000
Position 2821	:	0.0000
Position 2822	:	0.0000
Position 2823	:	0.0000
Position 2824	:	0.0000
Position 2825	:	0.0000
Position 2826	:	0.0000
Position 2827	:	0.0000
Position 2828	:	0.0000

Region 17: Position 2859 to 2868

Consensus:

2859 PVNSWLGNII 2868

Segment Length: 10

Average entropy (Hx): 0.0000

Position 2859	:	0.0000
Position 2860	:	0.0000
Position 2861	:	0.0000
Position 2862	:	0.0000
Position 2863	:	0.0000
Position 2864	:	0.0000
Position 2865	:	0.0000
Position 2866	:	0.0000
Position 2867	:	0.0000
Position 2868	:	0.0000

Lampiran 2. Alignment region Poliprotein Virus Hepatitis C

Alignment: Capsid HCV

	10	20	30	40	50
gi 329874:	STNPKPQKKN	KRNTNRRPQD	VKFPGGGQIV	GGVYLLPRRG	PRLGVRATRK
gi 221611:	STNPKPQRKT	KRNTNRRPQD	VKFPGGGQIV	GGVYLLPRRG	PRLGVRATRK
gi 221651:	STNPKPQRKT	KRNTNRRPQD	VKFPGGGQIV	GGVYLLPRRG	PRLGVRATRK
gi 1183029	STLPKPQRKT	KRNTIRRPQD	VKFPGGGQIV	GGVYVLPRRG	PRLGVRATRK
gi 2252490	STNPKPQRKT	KRNTNRRPMD	VKFPGGGQIV	GGVYLLPRRG	PRLGVRATRK
gi 2462304	STNPKPQRKT	KRNTNRRPQD	VKFPGGGQIV	GGVYLLPRRG	PKLGVRATRK
gi 2326455	STLPKPQRKT	KRNTNRRPMD	VKFPGGGQIV	GGVYLLPRKG	PRLGVRATRK
gi 1183033	STLPKPQRIT	KRNIINRRQD	VKFPGGGQIV	GGVYVLPRRG	PKLGVRRAVRK

	60	70	80	90	100
gi 329874:	TSERSQPRGR	RQPIPKARRP	EGRTWAQPGY	PWPLYGNEGC	GWAGWLSPR
gi 221611:	TSERSQPRGR	RQPIPKARRP	EGRTWAQPGY	PWPLYGNEGM	GWAGWLSPR
gi 221651:	TSERSQPRGR	RQPIPKDRRS	TGKSWGKPGY	PWPLYGNEGL	GWAGWLSPR
gi 1183029	TSERSQPRGR	RQPIPKARRS	EGRSWAQPGY	PWPLYGNEGC	GWAGWLSPR
gi 2252490	TSERSQPRGR	RQPIPKARRP	EGRSWAQPGY	PWPLYGNEGC	GWAGWLSPR
gi 2462304	NSERSQPRGR	RQPIPKARRP	TGRSWGQPGY	PWPLYANEGL	GWAGWLSPR
gi 2326455	TSERSQPRGR	RQPIPKARQP	QGRHWAQPGY	PWPLYGSEGC	GWAGWLSPR
gi 1183033	TSERSQPRSR	RQPIPRARRT	EGRSWAQPGY	PWPLYGNEGC	GWAGWLSPR
gi 1183031	TSERSQPRGP	RQPIPKARPO	TGRSWAQPGY	AMPIVCGNEGC	CWAGWLSPR

.....|.....|....
110

gi 329874:	GSRPSWGPTD PRRR
gi 221611:	GSRPSWGPTD PRRR
gi 221651:	GSRPSWGPNND PRRR
gi 1183029	GSRPSWGPNND PRRR
gi 2252490	GSRPSWGPNND PRGR
gi 2462304	SSRPNWGPNND PRRK
gi 2326455	GSRPHWGPNND PRRR
gi 1183033	GSRPSWGPNND PRRR
gi 1183031	GSRPTWGPNND PRRB

Alignment: Core

gi|2462304 SPNLGRVIHT LTCGFPHLMG YIPLVGGPVG GVSRALAHGV KVLEDGINYA
 gi|2326455 SRNLGKVIDT LTCGFADLMW YIPVVGAPLG GVAAALAHGV RAIEDGINYA
 gi|1183033 SRNLGKVIDT LTCGFADLMG YIPLVGA PVG GVARALAHGV RALEDGINFA
 gi|1183031 SRNLGKVIDT LTCGLADLMG YIPVIGGPLG GVAAALAHGV RAVEDGVNYA

.....|.....|.....|.....|.....|

60 70

gi|329874: TGNLPGCSFS IFLLALLSCL TVPAS
 gi|221611: TGNLPGCSFS IFLLALLSCL TIPAS
 gi|221651: TGNLPGCSFS IFLLALLSCI TTPVS
 gi|1183029 TGNLPGCSFS IFLLALFSC1 IHPAA
 gi|2252490 TGNLPGCSFS IFLLALLSCL TVPAS
 gi|2462304 TGNLPGCFPS IFVLALLWCL TVPAS
 gi|2326455 TGNLPGCSFS IFLLALLSCL TTPAS
 gi|1183033 TGNLPG----- -----
 gi|1183031 TGNLPGCSFS IFLLALLSCL TVPAS

Alignment: Envelope

.....|.....|.....|.....|.....|.....|.....|.....|.....|

10 20 30 40 50

gi|329874: QVRNSTGLYH VTNDCPNSSI VYEAADAILH TPgcVPCVRE GNASRCWVAM
 gi|221611: EVRNVSGIYH VTNDCSNSSI VYEADMIMH TPgcVPCVRE SNFSRCWVAL
 gi|221651: EVKNISTGYM VTNDCTNSDI TWQLQAAVLH VPgcVPCEKV GNTSRCWIPV
 gi|1183029 EWRNTSGLYV LTNDCSNSSI VYEADDVILH TPgcVPCVQD GNTSTCWTPV
 gi|2252490 --RNVSGIYH VTNDCPNSSI VYEADHHIMH LPgcVPCVRE GNQSRCWVAL
 gi|2462304 --RNASGVYH VTNDCPNSSI VYEADNLILH APgcVPCVLE DNVSRCWVQI
 gi|2326455 ---NSSGLYH LTNDCSNSSI VLEADAMILH LPgcLPCVRV GNQSTCWHAV
 gi|1183033 EYRNASGLYT VTNDCSNSSI VYEAGDVILH LPgcIPCVRV NNASKCWTPV
 gi|1183031 ---NKSGIYH LTNDCPNSSM VYEAEAIILH LPgcVPCIRT GNQSRCWTpa

.....|.....|.....|.....|.....|.....|.....|.....|.....|

60 70 80 90 100

gi|329874: TPTVATRDKG LPATQLRRHI DLLVGSATIC SALYVGDLCG SVFLVGQLFT
 gi|221611: TPTLAARNSS IPTTTIRRHV DLLVGAALC SAMYVGDLCG SVFLVSQLFT
 gi|221651: SPNVAVQPG ALTQGLRTHI DMVVMSATIC SALYVGDLCG GVMLAAQMFI
 gi|1183029 TPTVAVRYVG ATTASIRSHV DLLVGAATMC SALYVGDMCG AVFLVGQAFT
 gi|2252490 TPTVAAPYIG APLESIRSHV DLMVGAATVC SGLYIGDLCG GLFLVGQMFS
 gi|2462304 TPTLSAPSFG AVTALLRRAV DYLAGGAACF SALYVGDAcG ALSLVGQMFT
 gi|2326455 SPTLATPNAS TPATGFRRHV DLLAGAAAVC SSLYIGDLCG SLFLAGQLFA
 gi|1183033 SPTVAVSRPG AATASIRLTHV DMMVGAATLC SALYVGDLCG ALFLVGQGFS
 gi|1183031 TPTLAIPNST VPASGFRQHI DLMVGAALC SAMYLGDLCG GVFLVGQLFT

.....					
110	120	130	140	150	
gi 329874:	FSPRRHWTQ GCNCISIYPGH ITGHRMAWDM MMNWSPTTAL VMAQLLRIPO				
gi 221611:	FSPRYETVQ DCNCISIYPGH VSGHRMAWDM MMNWSPTTAL VVSQLLRIPQ				
gi 221651:	VSPQHHWFVQ DCNCISIYPGT ITGHRMAWDM MMNWSPTATM ILAYAMRVPE				
gi 1183029:	FRPRRHQTQ TCNCISLYPGH LSGHRMAWDM MMNWSPAVGM VVAHVLRLPQ				
gi 2252490:	FRPRRHWTQ DCNCISIYTGH ITGHRMAWDM MMNWSPTTTL VLAQVMRIPT				
gi 2462304:	YKPRQHTTVQ DCNCISIYSGH ITGHRMAWDM MMKWSPTTAL LMAQLLRIPO				
gi 2326455:	FQPRRHWTQ DCNCISIYTGH VTGHKMAWDM MMNWSPTTTL VLSSILRVPE				
gi 1183033:	WRHRQHWTQ DCNCISIYPGH LTGHRMAWDM MMNWSPAMLT IVSQVLRLPQ				
gi 1183031:	FRPRIHQTVQ DCNCISIYTGH VTGHKMAWDM MMNWSPTATF VVSSLARAPQ				
.....					
160	170	180	190		
gi 329874:	AILDIMIAGAH WGVLAGIAYF SMVGNWAKVL VVLLLFAGVD				
gi 221611:	AVVDMVAGAH WGVLAGLAYY SMVGNWAKVL IVMLLFAGVD				
gi 221651:	VIIDIIAGGAH WGVMFGLAYF SMOGAWAKVV VILLLAAGVD				
gi 1183029:	TLFDIMAGAH WGILAGLAYY SMQGNWAKVA IIMVMFSGVD				
gi 2252490:	TLVDLLSGGH WGVLVGVAYF SMQANWAKVI LVLFLFAGVD				
gi 2462304:	VVIDIIAGGH WGVLALLAAYF ASTANWAKVI LVLFLFAGVD				
gi 2326455:	ICASVIFGGH WGILLAVAYF GMAGNWKLVL AVLFLFAGVE				
gi 1183033:	TMFDLIVIGAH WGVMAGVAYY SMQGNWAKVF LVLCLFSGVD				
gi 1183031:	VLFDIFAGGH WGIIGALLYY STAANWAKVI IVLLLFLAGVD				

Alignment: Helic-C

.....					
10	20	30	40	50	
gi 329874:	KAIPLEVIKG GRHLIFCHSK KKCDLEAAKL VALGINAVAY YRG柳DVSVIP				
gi 221611:	KAIPIEAIKG GRHLIFCHSK KKCDLEAAKL TGLGLNAVAY YRG柳DVSVIP				
gi 221651:	RAIPLSYIKG GRHLIFCHSK KKCDLEAAAL RGMGLNAVAY YRG柳DVSVIP				
gi 1183029:	KAIPIALLKKG GRHLIFCHSK KKCDEIAASKL RGMGLNAVAY YRG柳DVSVIP				
gi 2252490:	KAIPLELIKG GRHLIFCHSK KKCDELARQL TSLGLNAVAY YRG柳DVSVIP				
gi 2462304:	RAIPLVLIKGR HLIFCHSK KKCDELAKQL TSLGVNAVAY YRG柳DVAVIP				
gi 2326455:	KAIPLEYIKG GRHLIFCHSK KKCDELAGKL KSLGLINAVAF YRG柳DVSVIP				
gi 1183033:	RAIPLVIKG GRHLIFCHSK KKCDELAKQL TSLGVINAVAF YRG柳DVSVIP				
gi 1183031:	KAIPLEYIKG GRHLIFCHSK KKCDELAAQL RTLGLINAVAF YRG柳DVSVIP				
.....					

.....					
60	70	80	90	100	
gi 329874:	TSGDVVVVAT DALMTGYTGD FDSVIDCN-----				
gi 221611:	TSGDVVVVAT DALMTGFTGD FDSVIDCN--				
gi 221651:	TOGDDVVVAT DALMTGFTGD FDSVIDCNVA VTQVVDFSLD PTFTITTQTV				
gi 1183029:	TTGDDVVVCAT DALMTGFTGD FDSVIDCN--				
gi 2252490:	TSGDVVVVCAT DALMTGFTGD FDSVIDCANTS VIQTVD--				
gi 2462304:	ATGDDVVVCST DALMTGFTGD FDSVIDCN--				
gi 2326455:	TSGDVVVVCAT DALMTGYTGD FDSVIDCNVA VTQVVDFSLD PTFSIET--				
gi 1183033:	TQGDVVVVCAT DALITGYTGD FDSVIDCN--				
gi 1183031:	TSGDVVVVCAT DALMTGYTGD FDSVIDCNVA VTQIVDFSLD PTFSIETTTV				
.....					

gi 329874:	-----
gi 221611:	-----
gi 221651:	-----
gi 1183029	-----
gi 2252490	-----
gi 2462304	-----
gi 2326455	-----
gi 1183033	-----
gi 1183031	PODAVARSOR RGRTGRGKPG VYRY

Alignment: NS1

	10	20	30	40	50
gi 329874:	HVTGGSAGHT	VSGFVSLLAP	GAKQNVQLIN	TNGSWHLNST	ALNCNDSLNT
gi 221611:	HVTGGRVASS	TQSLVSLWSQ	GPSQKIQLVN	TNGSWHINRT	ALNCNDSLQT
gi 221651:	HTVGGSTAHH	ARTLTGMFSL	GARQKIQLIN	TNGSWHINRT	ALNCNDSLHT
gi 1183029	YTTGGTASRH	TQAFAGLFDI	GPQQQLQLVN	TNGSWHINST	ALNCNESINT
gi 2252490	HVSGAAVGRS	TAGLANLFSS	GSKQNLQLIN	SNGSWHINRT	ALNCNDSLNT
gi 2462304	HTVGGTVGQG	LKSLSLTSFFNF	GPQRQLQFVN	TNGSWHINST	ALNCNDSLQT
gi 2326455	-----VSQT	TSGFASLLTP	GAKQNIQLIN	TNGSWHINRT	ALNCNDSLQT
gi 1183033	-ITGGVAASG	AFTITSLLST	GAKQPLHLVN	TNGSWHINRT	ALNCNDSLNT
gi 1183031	--VASSVSOA	TSGLVLSLFSA	GARQNLQLIN	TNGSWHINRT	ALNCNDSLQT

	60	70	80	90	100
gi 329874:	GWLALGLFYHH	KFNSSGCPER	LASCRPLTDF	DQGWGPISYA	N-GSGP-DQR
gi 221611:	GFIAFLFYAH	RFNASGCPER	MASCRLPIDEF	AQGWGPITHD	M-PESS-DQR
gi 221651:	GFLASLFYTH	SFNSSGCPER	MSACRSIEAF	RVGWLALQYE	DNVTNPEDMR
gi 1183029	GFIAGLFFYYH	KFNSTGCCQR	LSSCKPITFF	RQGWGPLTDA	N-ITGPSDDR
gi 2252490	GFLASLFYTH	KFNSSGCER	LACCKSLDSY	GQGWGPLGVA	N-ISGSSDDR
gi 2462304	GFIAGLMLYAH	KFNSSGCPER	MSSCRPLAAF	DQGWGTISYA	T-ISGPSDDK
gi 2326455	GFLASLFYTH	KFNSSGCER	MAACKPLAEF	RQGWQGITNH	N-VSGPSDDR
gi 1183033	GFIAGLLYYH	KFNSSGCVER	MSACSPLDRA	AQGWGPLGPA	N-ISGSPSSEK
gi 1183031	GFIASLFYRN	KFNATGCPER	LSACTLDSF	DQGWGPITYA	N-ISGPAVEK

	110 120 130 140 150
gi 329874:	PYCHWHYPPKP CGIVPAKSCV GPVYCFTPSP VVVGTTDRSG APTYSWGEND
gi 221611:	PYCHWHYPCP CGIVPASQVC GPVYCFTPSP VVVGTTDRFG APTYSWGNE
gi 221651:	PYCHWHYPPRQ CGVVSAASSVC GPVYCFTPSP VVVGTTDRLG APTYTWGENE
gi 1183029	PYCHWHYAPRP CDIVPASSVC GPVYCFTPSP VVVGTTDARG VPTYTWGENE
gi 2252490	PYCHWHYAPRP CGIVPAPASSVC GPVYCFTPSP VVVGTTDHVG VPTYTWGENE
gi 2462304	PYCHWHYPPRP CGVVPARDVC GPVYCFTPSP VVVGTTDRRG CPTYNWGSNE
gi 2326455	PYCHWHYAPRP CEVVPARSVC GPVYCFTPSP VVVGTTDKRG NPTYTWGENE
gi 1183033	PYCHWHYAPRP CDTVPAQSVC GPVYCFTPSP VVVGATDKRG APTYTWGENE
gi 1183031	PYCHWHYPPRP CEVVSAINVC GPVYCFTPSP VVLTGTTDRRG NPTYTWGAN

	160	170	180	190	200
gi 329874:	TDVFVLNTR PPLGNWFGCT WMNSTGFTKV CGAPPCVIIGG AGNNT-----					
gi 221611:	TDVLLLSNTR PPQGNWFGCT WMNSTGFTK CGGPPCNIGG VGNNT-----					
gi 221651:	TDVFLLNSTR PPQGSWFGCT WMNSTGYTKT CGAPPCRIRA DFNAS---MD					
gi 1183029	KDVFLLKSQR PPSGRWFGC S WMNSTGFLKT CGAPPNCIYG GEGNPHNESD					
gi 2252490	TDVFLLNSTR PPHGAWFGCV WMNSTGFTKT CGAPPCEVN- TNNGT-----					
gi 2462304	TDILLNNIR PPAGNWFGCT WMNSTGFVKN CGAPPCLGP TGNNS-----					
gi 2326455	TDVFMLES LR PPTGGWFGCT WMNSTGFTKT CGAPPQIVP GNYSNSANE-					
gi 1183033	SDVFILE SAR PPTEPWFGCT WMNGSGYVKT CGAPPCHIYG GREGKSNS-					
gi 1183031	TDVFMMSSLR PPAGGWYFGCT WMNTSGFVKT CGAPPCLRP NPEENRTET-					
	210	220	230	240	250
gi 329874:	LHCPTDCFRK HDATYSRCG SGWPWITPRCL VDYPYRLWHY PCTINYTI FK					
gi 221611:	LVCPTDCFRK HPEATYTKCG SGWPWLTPRCM VDYPYRLWHY PCTVNFTVFK					
gi 221651:	LLCPTDCFRK HDPTTYIKCG SGWPWLTPRCL IDYPYRLWHY PCTVNYTI FK					
gi 1183029	LFCPTDCFRK HPETTYSRCG AGPWLTTPRCM VDYPYRLWHY PCTVDFRLFK					
gi 2252490	WHCPTDCFRK HPETTYAKCG SGWPWITPRCL IDYPYRLWHF PCTANFSVFN					
gi 2462304	LKCPTDCFRK HDATYTRCG SGWPWLTPRCL VHYPYRLWHY PCTVNYTI FK					
gi 2326455	LLCPTDCFRK HPEATYQR CG SGWPWITPRCL VDYAYRLWHY PCTVNFTLHK					
gi 1183033	LVCPTDCFRK HDATYNRCG AGPWLTTPRCL VDYPYRLWHY PCTVNYTI FK					
gi 1183031	LRCPTDCFRK HPGATYAKCG SGWPWLTPRCL VDYPYRLWHY PCTVNYTLHK					
	260	270	280	290	300
gi 329874:	IRMYVGGVEH RLEAACNWTR GERCDLED RD RSELSPLL LT TTQWQVLPCS					
gi 221611:	VRMYVGGVEH RLNAACNWTR GERCDLED RD RSELSPLLS TTEWQILPCS					
gi 221651:	IRMYVGGVEH RLTAA CNFTR GDRCNLED RD RSQSLSP LLHS TTEWAILPCS					
gi 1183029	VRFMVGGEH RTAA CNWTR GERCDIED RD RSEQHP LLHS TTELAILPCS					
gi 2252490	IRTFVGGIEH RMQAACNWTR GEVCGLEH RD RVELSPLL LT TAWQILPCS					
gi 2462304	VRFMFIGGLEH RLEAACNWTR GERCDLED RD RAELSP LLHT TTQWAILPCS					
gi 2326455	VRFMVGGEH RFDVACNWTR GERCELHD RN RIEMSP LLFS TTQLSILPCS					
gi 1183033	VRFMVGGLEH RFNAACNWTR GERCNLED RD RSEMYP LLHS TTEQAILPCS					
gi 1183031	VRYMIAGSEH RTAA CNWTR GERCDLAD RD RIEMSP LLFS TTTELAILPCS					
	310	320	330	340	350
gi 329874:	FTTLPALSTG LIHLHQ NIVD VQYLYGVGSS IASWA IKWEY VVLLFL LLA D					
gi 221611:	FTTLPALSTG LIHLHRNIVD VQYLYGIGSA VVSFA IKWEY ILLLFL LLA D					
gi 221651:	YSDLPA LSTG LIHLHQ NIVD VQFMYGLSP A LTKYIVRWEW VVLLFL LLA D					
gi 1183029	FTPMPALSTG LIHLHQ NIVD VQYLYGVGSS MVG WALKWEF VLVFL LLA D					
gi 2252490	FTTLPALSTG LIHLHQ NIVD VQYLYGVGSA VVSWALKWEY VVLAF LLA D					
gi 2462304	FTPTPALSTG LIHLHQ NIVD TQYLYGLSSS IVSWAVKWEY IMLVFL LLA D					
gi 2326455	FSTMPALSTG LIHLHQ NIVD VQYLYGVSTN VTSWVVKWEY IVLMFL VLAD					
gi 1183033	FVPIP ALSTG LIHLHQ NIVD VQYLYGISSG LVGWA IKWEF VILIF LLA D					
gi 1183031	FTTMPALSTG LIHLHQ NIVD VQYLYGLSTS IVNWAI KWEY VVLLFL VLAD					

```
gi|329874: A  
gi|221611: A  
gi|221651: A  
gi|1183029: A  
gi|2252490: A  
gi|2462304: A  
gi|2326455: A  
gi|1183033: A  
gi|1183031: S
```

Alignment: NS4A

	10	20	30	40	50
gi 329874:	STWVLVGGVL	AALAAYCLST	GCVVIVGRVV	LSGKPAIIPD	REVLYREFDDE
gi 221611:	STWVLVGGVL	AALAAYCLTT	GSVVIVGRRI	LSGRPAVIPD	REVLYQFDFE
gi 221651:	-----	-----	-CVCIIIGRLH	VNQRRAVVPD	KEVLYEAFDDE
gi 1183029	STWVLLGGVL	AALAAYCLSV	GCVVIVGHIE	LEGKPALVPD	KEVLYQQYDDE
gi 2252490	-----	-----	-----	-----PAVIPD	REVLYQQFDFE
gi 2462304	STWVLVGGVV	AALAAYCLTV	GSAVIVGRRI	LSGRPAITPD	REVLYQQFDFE
gi 2326455	STWVLVGGVL	AALAAYCLSV	GCVVICGRIT	LTGKPAVVPD	REILYQQFDFE
gi 1183033	SAWVLLGGVM	AALTAYCLSV	GSSVIVGHIV	LGGKPAIIPD	KEVLYQQYDDE
gi 1183031	STWVVAGGI	AAAAYCLTV	GSSVICGRIT	TSSRPAVIPD	REVMYQQYDDE

gi 329874:	MEEC
gi 221611:	MEEC
gi 221651:	MEEC
gi 1183029	MEEC
gi 2252490	MEEC
gi 2462304	MEEC
gi 2326455	MEEC
gi 1183033	MEEC
gi 1183031	MEEC

Alignment: NS2

	10	20	30	40	50
gi 329874:	DTEVAASC GG	VVLVGLMALT	LSPYYKRYIS	WCLWWLQYFL	TRVEAQLHVV
gi 221611:	DREMAASC GG	AVFVGLVLLT	LSPYYKVFLA	RLIWWLQYFI	TRAEEHLQVW
gi 221651:	--SVHGQIGA	ALLVLITLFT	LTPGYKTLLS	RFLWWLCYLL	TLAEAMVQEW
gi 1183029	-GEDSATLGA	GVLVLFGFFT	LSPWYKHWIG	RLMMWNQYTI	CRCESALHVV
gi 2252490	DQEVA GSLGG	AIVVMLTILT	LSPHYKLWLA	RGLWWI QYFI	ARTEAVLHVV
gi 2462304	DSSDGGTVGC	LVLIVLTIFT	LTPGYKKVV	LVMWWLQYFI	ARVEAIIHVV
gi 2326455	DNEQAASLGA	VG LLVMVITIFS	ITPMYKKLL	CFIWWNQYFL	ARAEAMVHEW
gi 1183033	-GTDSTLGA	GVLSLFALFT	LSPWYKHWIA	RLIWWNQYTI	ARCEAALQIW
gi 1183031	DGVOAGSIGA	AVIAALTIFS	LTPAYKLLA	HFLWWTOYFI	AHIEAKLHVV

gi 329874:	IPPLNVRGGGR DAVILLMCAV HPTLVFDITK LLLAVFGPLW ILQASLLKVP
gi 221611:	VPPLNVRGGR DAIILITCAV HPELIFDITK LLLAILGPLM VIQAGITRVP
gi 221651:	APPMQVRGGR DGIIWAVAIF CPGVVFDTK WLLAVLGPAY LLKGALTRVP
gi 1183029	VPPLLARGSR DVGILLTSLL YPSLIFDITK LLMMAVLGPLY LIQATITTP
gi 2252490	IPSFNVRGPR DSVIVLAVLV CPDLVFDITK YLLAILGPLH ILQASLLRIP
gi 2462304	VPPLQVKGGGR DAVIMLTCLF HPALGFEITK ILFGILGPLY LLQHSLLKVP
gi 2326455	VPDLVRGGR DSIIILLTCLL HPQLGFEVTK ILLAVLAPLY ILQYSLLKVP
gi 1183033	VPPLLARGAR DGIIILLAGLF YPALVFDITK LLLAILGPLY ILQASLVRVP
gi 1183031	VPFLRVRGGR DAIILLCVFB HPSLGFEVTK ILLALIGPLY LLHASLLRVP

gi 329874:	YFVRVQGLLR FCALARKMIG GHYVQMVIIK LGALTGTYYV NHLTPLRDWA
gi 221611:	YFVRAQGLIR ACMVRKVAG GHYVQMAFMK LAALTGTYYV DHLTPLRDWA
gi 221651:	YFVRAHALLR MCTMVRHLAG GRYVQMVILLA LGRWTGTYYIY DHLTPMSDWA
gi 1183029	YFVRAHVLVR LCMVLVRSVIG GKYFQMIILS IGRWFNTYLY DHLAPMQHWA
gi 2252490	YFVRAQALVK ICSSLRGVVY GKYFQMVVILK SRGLTGTYYIY DHLTPMSDWP
gi 2462304	YFLRARALLR LCILLAHLVY GKYVQAALLH LGRLTGTYYIY DHLAPMKDWA
gi 2326455	YFVRAHILLR ACLLVRRLAG GKYVQACLLR LGAWTGTFVY DHLAPLSDWA
gi 1183033	YFVRAHAVVR LCILVRNITG GKYVQMVLIA LARGFNTYLY DHLSPPMTDWA
gi 1183031	YYVRAHALIR ICALVQNAG GKYVQAAILR AGSWTGTYIY DHLVPLRTWA

gi 329874:	160 HNGLRDLAVA VEPVVFSQME TKLITWGADT AACGDIINGL PVSAR
gi 221611:	HAGLRDLAVA VEPVVFSQME TKLITWGADT AACGDIISGL PVSAR
gi 221651:	ANGLRDLAVA VEPPIIFSPME KKVVWGAET AACGDIILHGL PVSAR
gi 1183029	AAGLKDLAVA TEPVIFSPME IKVIVTGADT AACGDIILCGL PVSAR
gi 2252490	PYGLRDLAVA LEPPVFTPME KKVVWGAET AACGDIIRGL PVSAR
gi 2462304	ASGLRELTVA TEPPIVFSAME TKVITWGADT AACGNILAVL PVSAR
gi 2326455	SDGLRDLAVA VEPPIVFSQME KKIITWGADT AACGDILSGL PVSAR
gi 1183033	AEGLKDLAVA VEPPIVFSQME VKVITWGADT TACGDIILCGL PVSAR
gi 1183031	SDGLRDLAVA VEPVVFSQME KKVITWGADT AACGDIILAGL PVSAR

Alignment: NS4b

	10	20	30	40	50
gi 329874:	FKQKALGLLQ	TASRQAEVIA	PAVQTNWQKL	ETFWAKHMWN	FISGIQYLAG
gi 221611:	FKQKALGLLQ	TATKQAEAAA	PVVESKWRL	EVFWAKHMWN	FISGIQYLAG
gi 221651:	-KSKIQGLLQ	QASKQADIQ	PAVQASWPKV	EQFWAKHMWN	FISGIQYLAG
gi 1183029	FKEKILGLLQ	RATQQQAVIE	PIVTNNWQKL	EAFWHKHMWN	FVSGIQYLAG
gi 2252490	FKQKALGLLN	FAGKQAAEAT	PVIQSNFAKL	EQFWANDMWN	FISGIQYLAG
gi 2462304	FKEKVLGLIG	TAGQKAETLK	PAATSMWSKA	EQFWAKHMWN	FVSGIQYLAG
gi 2326455	FROKVLGLLQ	ASAKQAEELK	PAVHSAPRV	EDFWRKHMWN	FVSGIQYLAG
gi 1183033	FKEKIVGLLQ	QADQKAADIK	PIATPYWQKL	ETFWSKHMWN	FVSGIQYLAG
gi 1183031	FKQNVLGLIQ	VTTKQAEELK	PAVHSAPKL	EQFWYKHMWN	FISGIQYLAG
	60	70	80	90	100
gi 329874:	LSTLPGNPAI	ASLMAFTAAT	TSPLTTSQTL	LFNILGGWVA	AQLAAPGAAT
gi 221611:	LSTLPGNPAI	ASLMAFTASI	TSPLTTQTNTL	LFNILGGWVA	AQLAPPASAAS
gi 221651:	LSTLPGNPAV	ASMMFAFSAA	TSPLSTSTTI	LLNILGGWL	SQIAPPAGAT
gi 1183029	LSTLPGNPAV	ASLMAFTASV	TSPLTTNQTM	FFNILGGWVA	THLAGPKSSS
gi 2252490	LSTLPGNPAI	ASLMSFTAATV	TSPLTTQTQL	LFNILGGWVA	SQIRDSDAST
gi 2462304	LSTLPGNPAV	ATLMSFTAATV	TSPLTTTHQL	LFNILGGWVA	SQIAPPTAAT
gi 2326455	LSTLPGNPAV	ASLMSFTASL	TSPLRTSQTL	LLNILGGWIA	AQVAPPPAST
gi 1183033	LSTLPGNPAI	ASLMAFTASV	TSPLTTNQTL	LFNIMGGWVA	SNLAPPPAST
gi 1183031	LSTLPGNPAV	AALMSFSASL	TSPLTTAQTL	LLNVLGGWVA	SQLATPVPAT
	110	120	130	140	150
gi 329874:	AFVGAGLAGA	AIGSVGLGKV	LIDILAGYGA	GVAGALVAFK	IMSGEVPSTE
gi 221611:	AFVGAGIAGA	AVGSIGLGKV	LVDILAGYGA	GVAGALVAFK	VMSGEMPSTE
gi 221651:	GFVVSGLVGA	AVGSIGLGKV	LVDILAGYGA	GISGALVAFK	IMSGEKPSME
gi 1183029	AFVVSGLAGA	AIGGIGLGRV	LLDILAGYGA	GVSGALVAFK	IMGECPTAE
gi 2252490	AFVVSGLAGA	AVGSVGLGKI	LVDILPVGGA	GVVRGAVTFK	IMSGEEMPSTE
gi 2462304	AFVVSGMAGA	AVGNIGLGRV	LIDILAGYGT	GVAGALVAFK	IMCGERPTAE
gi 2326455	AFVVSGLAGA	AVGSIRLGRV	LVDVLAGYGA	GVSGALVAFK	IMSGECPSTE
gi 1183033	AFVVSGLAGA	AVGSIGLGKV	LLDILAGYGA	GVAGALVAFK	IMGEMPSSTE
gi 1183031	AFVVSGLAGA	AIGSIGLGKV	IVDILAGYGA	GVSGALVAFK	IMSGETPSVE
	160	170	180	190	
gi 329874:	DLVNLLPAIL	SPGALVVGVV	CAAIRRHVG	PGEHAVQWMN	RLIA
gi 221611:	DLVNLLPAIL	SPGALVVGVV	CAAIRRHVG	PGEHAVQWMN	RLIA
gi 221651:	DVNLNLPIL	SPGALVVGVVI	CAAIRRHVG	PGEHAVQWMN	RLIA
gi 1183029	DMVNLLPAIL	SPGALVVGVVI	CAAIRRHVG	PGEHAVQWMN	RLIA
gi 2252490	DLVNLLPAIL	SPGALVVEVV	CPAILRRHVG	PGEHAVQWMN	RLIA
gi 2462304	ELVNLLPSIL	CPGALVVGVVI	CAAVLRRHIG	PGEHAVQWMN	RLIA
gi 2326455	DMVNLLPALL	SPGVALVGVV	CAAIRRHVG	PAEGANQWMN	RLIA
gi 1183033	DMVNLLPAIL	SPGALVVGVVI	CAAIRRHVG	PGEHAVQWMN	RLIA
gi 1183031	DMVNLLPALL	SPGALVVGVV	RAAILRRHVG	PSEGAAQWMN	RLIA

Alignment: NS5A

	10	20
gi 221651:	GSWL RDVWDW VCTIL TDFKN WL-		
gi 1183029	--WL RTIWDW VCSV LADFKA WLS		
gi 2252490	-SWL WEVWDW VLHVL SDFKT CLK		
gi 2462304	GTWL RAIWDW VCTAL TDFKA WLQ		
gi 2326455	-SWL RDVWDW VCTVL SDFKV WLQ		
gi 1183033	GNWLYD IWNW VCTVL ADFKL WL-		
gi 1183031	STWL RD IWDW VCTVL SDFRV WLK		
gi 329874:	GSQL RD IWDW ICEV L SDFKT WLK		
gi 221611:	GSQL KDVWDW ICTVL SDFKT WLQ		

Alignment: NS5a_1A

	10	20	30	40	50
gi 329874:	IPFV S CQRGY KGVWR VDGIM HTRCH GAEI TGHVKNGTMR IVG PRT CRNM					
gi 221611:	LPF S CQRGY KGVWR GDGIM QTTC PCGA QI TGHVKNGSMR IVG PKT CSNT					
gi 221651:	LPF IS CQKGY KGVWAG TGIM TTRCP CGA NI SGNVR LGSMR TGHVKNGSMR LAG PRT CANM					
gi 1183029	LPF IS CQKGY KGVWR GDGV M STRCP CGA AI TGHVKNGSMR ITGPKT CSNT					
gi 2252490	IPLL SW PRGY KGEW RGDGV M HTTCP CGA DL AGHI KNGSMR ITGPKT CSNT					
gi 2462304	VPFF S CQKGY KGVWR GDGV N STKCP CGA TI SGHV KNGTMR IVGPKL CSNT					
gi 2326455	IPFL S CQAGY RGWAG DGVC HTTCTCGAVI AGHV KNGTMR ITGPKT CSNT					
gi 1183033	IPFL S CQKGY RGTWR GDGV V STRCP CGA LL SGHV KNGTMR LVGPRWCANT					
gi 1183031	VPFF S CQRGY RGTWR GDGIC NTTCP CGA SI AGHV KNGTMR IVG PRT CSNV					

	60
gi 329874:	WSGT FPI NAY TT	
gi 221611:	WHGT FPI NAY TT	
gi 221651:	WQGT FPI NCY TE	
gi 1183029	WHGT FPI NEY TT	
gi 2252490	WHGT FPI NAY TT	
gi 2462304	WQGT FPI NAT TT	
gi 2326455	WHGT FPI NAT TT	
gi 1183033	WHGT FPI NGY TT	
gi 1183031	WNGT FPI NAT TT	

Alignment: NS5A_1B

	10	20	30	40	50
gi 329874:	GPCTPLPAPN YTFAL WRVSA EYVEIR QVG DFHYVTGM TT DNLK CPCQ VP					
gi 221611:	GPCTPS PAPN YSRAL WRVAA EYVEV TRVG DFHYVTGM TT DNVK CPCQ VP					
gi 221651:	GQCVPKPAPN FKIAI WRVAA SEYAEV TQHG SYHYIT GLTT DNLK VPCQ LP					
gi 1183029	GPSTPC PSPN YTRAL WRVAA NSYVEV RRVG DFHYIT GATE DELK CPCQ VP					
gi 2252490	GPGVPI PAPN YKFAL WRVSA EDYVEV RRVG DFHYVTG VTQ DNIK FPCQ VP					
gi 2462304	GPSVPA PAPN YKFAL WRVGA ADYAEV RRVG DYHYIT GVTQ DNLK CPCQ VP					
gi 2326455	GPSTPRPAPN YQRAL WRVSA EDYVEV RRLG DCHYVV GTVA EGLK CPCQ VP					
gi 1183033	GPSTPAPS YSRAL WRVAS DSYVEV RKVG DFHYVTG TT DGLK CPCQ VP					
gi 1183031	GPSIPI PAPN YKKAL WRVSA TEYVEV VRVG DSHYIT GTVA ENTK CPCQ VP					

	60	70	80	90	100
gi 329874:	SPEFFTELDG	VRLHRFAPP	KPLLREEVSF	RVGLHEYPVG	SQLPCEPEPD
gi 221611:	APEFFTEVDG	VRLHRYAPVC	KPLLREEVVF	QVGLNQYLVG	SQLPCEPEPD
gi 221651:	SPEFFSWVDG	VQIHRFAPIP	KPFFRDEVSF	CVGLNSFVVG	SQLPCDPEPD
gi 1183029	AAEFFTEVDG	VRLHRYAPPC	KPLLRRDDITF	MVGLHSYTIG	SQLPCEPEPD
gi 2252490	APELFTEVDG	IRIHRHAPKC	KPLLRDEVSF	SVGLNSFVVG	SQLPCEPEPD
gi 2462304	SPEFFTELDG	VRIHRFAPP	NPLLREEVT	SVGLHSYVVG	SQLPCEPEPD
gi 2326455	APEFFTEVDG	VRIHRYAPC	KPLLDEVTF	SVGLNSYAVG	SQLPCEPEPD
gi 1183033	LPEFFTELDG	VRLHRYAPVC	RPLLRRDDVT	TVGLNSYVIG	SQLPCEPEPD
gi 1183031	APEFFTEVDG	VRLHRYAPEC	KPILRDEVTF	TVGLSTYVVG	SQLPCEPEPD

	V
gi 329874:	V
gi 221611:	V
gi 221651:	-
gi 1183029	V
gi 2252490	V
gi 2462304	V
gi 2326455	V
gi 1183033	V
gi 1183031	V

Alignment: Peptidase s29

	10	20	30	40	50
gi 329874:	EGEVQIVSTA	AQTFATCIN	GVCWTVYHGA	GTRTIASPKG	PVIQMYTNVD
gi 221611:	-GEVQLSTA	TQSFLATCVN	GVCWTVYHGA	GSKTLAGPKG	PITQMYTNVD
gi 221651:	AGEIQLSTV	TQSFLGTTIS	GVLWTVYHGA	GNKTLAGSRG	PVTQMYSSAE
gi 1183029	TGEVQLSTA	TQTFGLTTVG	GVIWTVYHGA	GSRTLAGAKH	PALQMYTNVD
gi 2252490	-GEVQLSTA	TQSFLGTAVN	GVMWTVYHGA	GAKTISGPKG	PVNQMYTNVD
gi 2462304	EGEVQFLSTA	TQTFGLGICIN	GVMWTLFHGA	GSKTLAGPKG	PVQMYTNVD
gi 2326455	EGEVQVSTD	TQSFLVATCIN	GVMWTVYHGP	GFKTLAGPKG	PVCQMYTNVD
gi 1183033	TGEIQLSTS	TQTFGLTSGV	GVMWTVYHGA	GSRTLGNKR	PALQMYTNVD
gi 1183031	AGEIQLSTA	TQTFLATCVN	GVCWTVYHGA	GSKTLAGPRG	PVCQMYTNVD

	60	70	80	90	100
gi 329874:	QDLVGWPAPQ	GSSRSLLSP	GSSDLYLVT	HADVIPVRRR	GDSRGSSLSP
gi 221611:	QDLVGWPAPP	GARSMTPCTC	GSSDLYLVT	HADVPPVRRR	GDSRGSSLSP
gi 221651:	GDLVGWPSPPP	GTKSLEPC	GAVDLYLVT	NADVIPARRR	GDKRGALLSP
gi 1183029	QDLVGWPAPP	GAKSLEPCAC	GSSDLYLVT	DADVIPARRR	GDSTASLLSP
gi 2252490	QDLVGWPAPP	GVRSLLPCTC	GSADLYLVT	HADVIPVRRR	GDTRGALLSP
gi 2462304	KDLVGWPSPPP	GKGSLLTRCTC	GSADLYLVT	HADVIPARRR	GDTRASLLSP
gi 2326455	LDLVGWPSPPP	GARSLLTPCNC	GSSDLYLVT	EADVIPARRR	GDSRAALLSP
gi 1183033	QDLVGWPSPPP	GAKSLVPCTC	GSADLYLITR	DADVLPARRR	GDSTASLLSP
gi 1183031	QDMVGWPAPA	GTRSYPCTC	GASDLYLITR	QADVIPARRR	GDNRAGLISP

		
110	120	130	140
gi 329874:	RPISYLGSS GGPLLCPAGH AVGIFRAAVC	TRGVAKAVDF IPVENLETT	
gi 221611:	RPISYLGSS GGPLLCPSGH VVGIFRAAVC	TRGVAKAVDF IPVESMETT	
gi 221651:	RPLSTLKGS SGGPVLCPRGH AVGVFRAAVC	SRGVAKS1DF IPVETLD--	
gi 1183029:	RPLACLKGS SGGPVMCPSGH VAGIFRAAVC	TRGVAKSLQF IPVETLSTQ	
gi 2252490:	RPISYLGSS GGPLLCPMGH RAGIFRAAVC	TRGVAKAVDF VPVESLETT	
gi 2462304:	RPISYLGSS GGPIMCPSGH VVGFVRAAVC	TRGVAKALEF VPVENLETT	
gi 2326455:	RPISTLKGS GGPIMCPSGH VVGLFRAAVC	TRGVAKSLDF IPVENMETT	
gi 1183033:	RPLACLKGS SGPIMCPSGH VAGIFRAAVC	TRGVAKALQF IPVESLSAQ	
gi 1183031:	RPISTLKGS GGPLLCPSGH VVGLFRAAVC	TRGVAKALDF VPCEAMDAT	

Alignment: RNA Dependen RNA Polymerase

			
10	20	30	40	50
gi 329874:	----- --HINSVWK DLLEDNVTPI DTTIMAKNEV FCVQPEKGGR			
gi 221611:	----- -VNHIIRSVWE DLLEDTETPI DTTIMAKNEV FCVQPEKGGR			
gi 221651:	----- -VNHIKSVWK DLLEDQTTPPI PTTIMAKNEV FCVDPTKGK			
gi 1183029:	----- --NQIIRSVWE DLLEDDTTTPPI PTTIMAKNEV FCVDPAKGGR			
gi 2252490:	----- --NHISSVWK DLLDDNNTPPI PTTIMAKNEV FAVNPAGGGR			
gi 2462304:	AKEVRSLDKK ALKHIEGVWQ DLLDDSDTPL PTTIMAKNEV FAEVPSKGK			
gi 2326455:	----- -VDHIPSVWE GLLEDSDTPI PTTIMAKNEV FCVDPSKGGR			
gi 1183033:	----- --NHINSVWE DLLEDNTTPPI PTTIMAKNEV FAVAPHKGGR			
gi 1183031:	----- --NHINSVWE DLLEDNVTPI PTTIMAKNEV FCVDVSKGGR			

			
60	70	80	90	100
gi 329874:	KPARLIVFPD LGVRVCEKMA LYDVVTKLPO AVMGSSYGFQ YSPGQRVERFL			
gi 221611:	KPARLIVEPD LGVRVCEKMA LYDVVSTLPO AVMGPSYGFQ YSPGQRVERFL			
gi 221651:	KAARLIVYPD LGVRVCEKMA LYDITQKLPO AVMGASYGFQ YSPAQRVERFL			
gi 1183029:	KPARLIVYPD LGVRVCEKRA LYDVIQKLSI ETMGPAYGFQ YSPQQRVERL			
gi 2252490:	KPARLIVYPD LGSRVCEKRA LHDVIIKKTAL AVMGAAYGFQ YSPAQRVERFL			
gi 2462304:	KPARLIVYPD LGVRVCEKRA LYDVAQKLEP ALMGPSTYGFQ YSPAQRVDFL			
gi 2326455:	KPARLIVYPD LGVRVCEKMA LYDVTQKLPO AVMGPAYGFQ YSPNQRVEYL			
gi 1183033:	KPARLIVYPD LGVRICEKRA LYDVIQKLPS AIMGSAYGFQ YSPKQRVEYL			
gi 1183031:	KPARLIVYPD LSVRVCEKRA LYDVTTRKLPO AVMGAAYGFQ YSPSQQRVEYL			

			
110	120	130	140	150
gi 329874:	VQAWKSKKTP MGFSYDTRCF DSTVTESDIR TEEAIYQCCD LDPQARVAIK			
gi 221611:	VNTWKSKKTP MGFSYDTRCF DSTVTENDIR TEESIYQCCD LAPEARQVAIR			
gi 221651:	LKAWAKKDP MGFSYDTRCF DSTVTTERDIR TEESIYRACS LPEEAHTAIH			
gi 1183029:	LKMWTSKKTP LGFSYDTRCF DSTVTEQDIR VEEEIYQCCN LEPEARKVIS			
gi 2252490:	LTAWSKNDP MGFSYDTRCF DSTVTEKDIR VEEEVYQCCD LEPEARKVIT			
gi 2462304:	LKAWKSKKIP MAFSYDTRCF DSTITEHDIM TEESIYQSCD LQPEARVAIR			
gi 2326455:	LKMWRSKKVP MGFSYDTRCF DSTVTERDIR TENDIQYQSCQ LDPVARVVVS			
gi 1183033:	LKMWNSSKKTP LGFSYDTRCF DSTVTEQDIR VEESIYQACD LKDEARRVIT			
gi 1183031:	LKIWRSSKKTP MGFSYDTRCF DSTVTERDIR TEESIYQCCE LDPVARKAIS			

